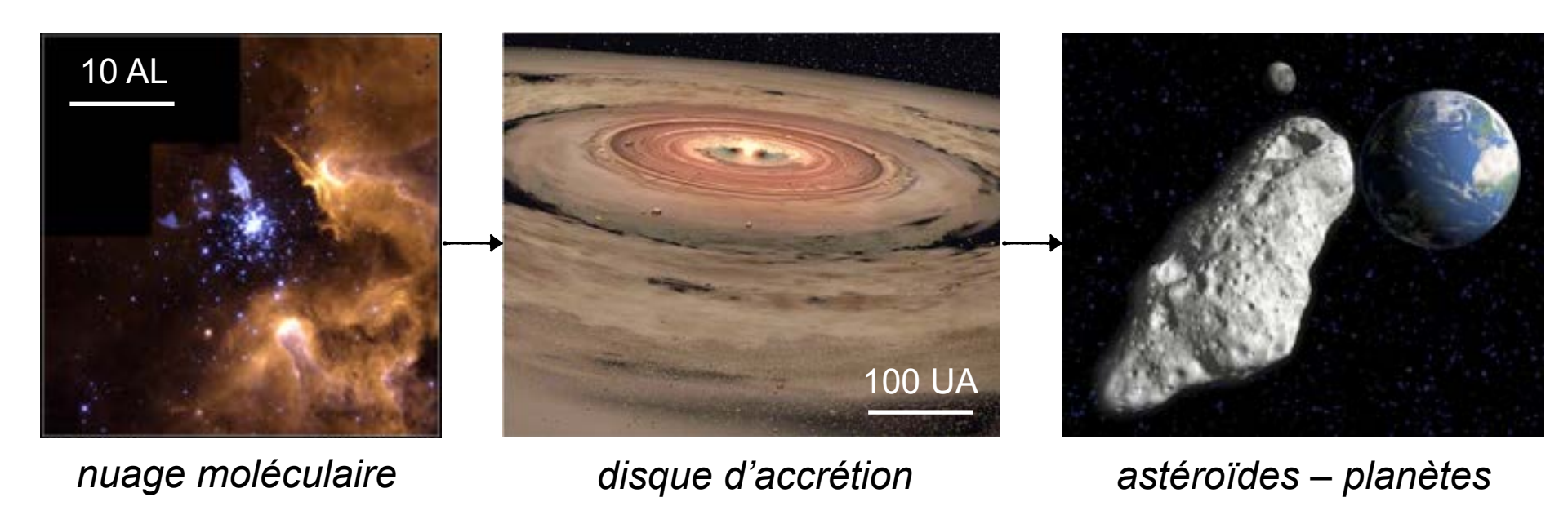




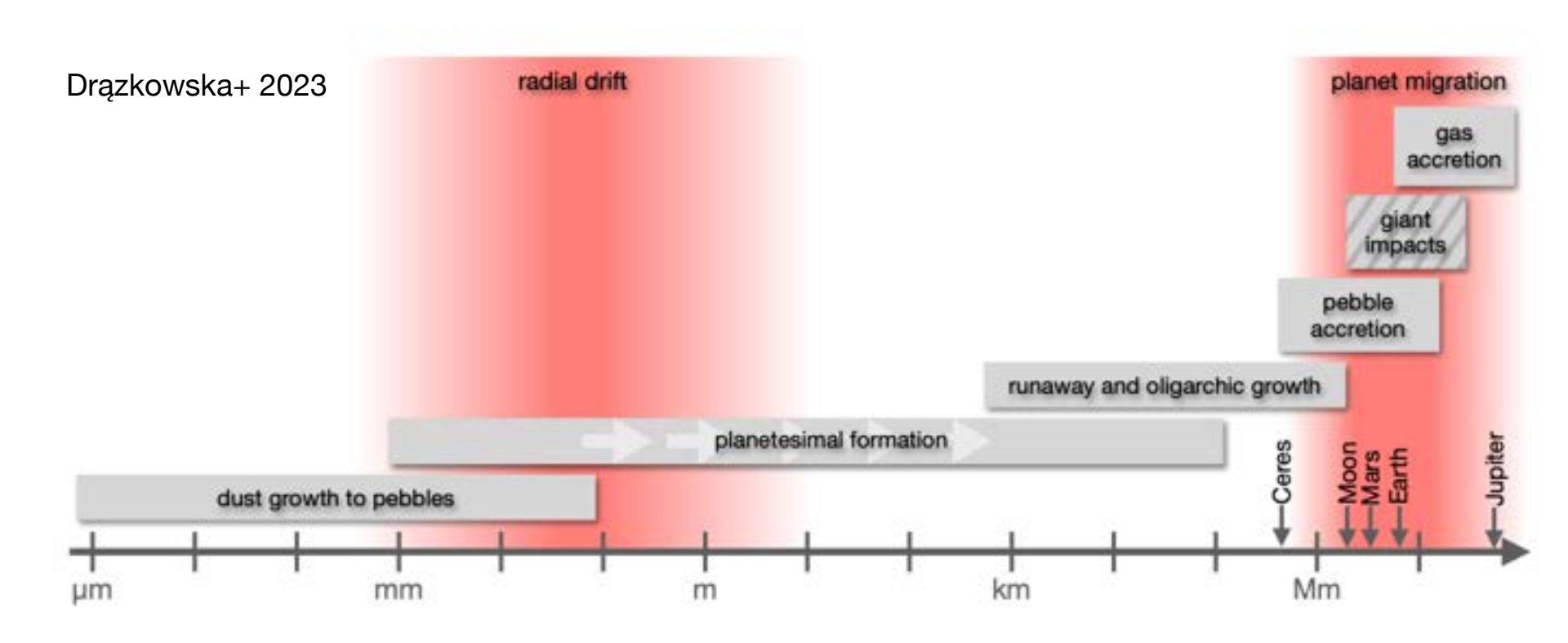
histoire de la poussière du système solaire racontée par les chondres



Yves Marrocchi — Collège de France – 12 novembre 2025



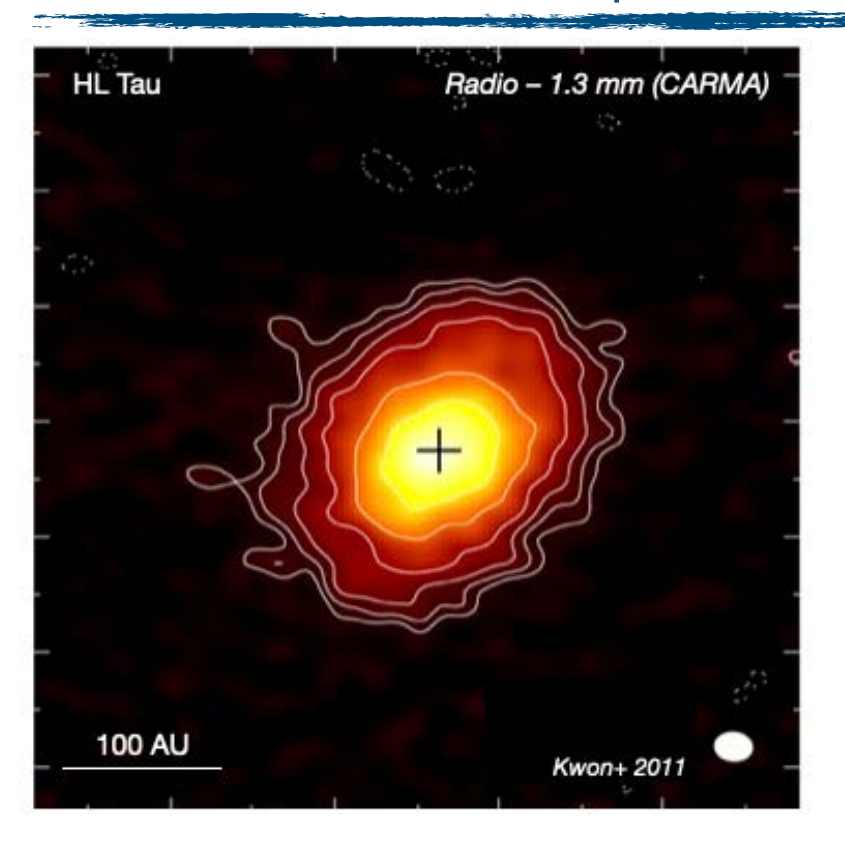
que se cache-t-il derrière le terme de poussière ?



- → astrophysique = solides < mm
- → dust (= poussières) et pebbles (= galets)= poussières dans les disques

évolution de la poussière dans les disques

observations astronomiques des disques d'accrétion





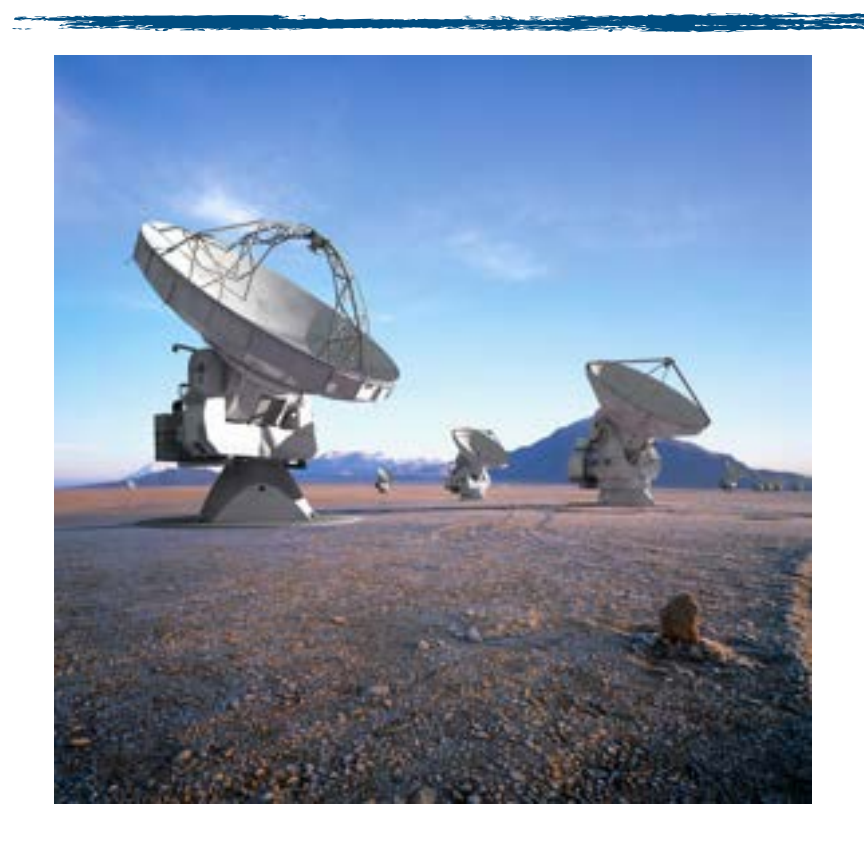


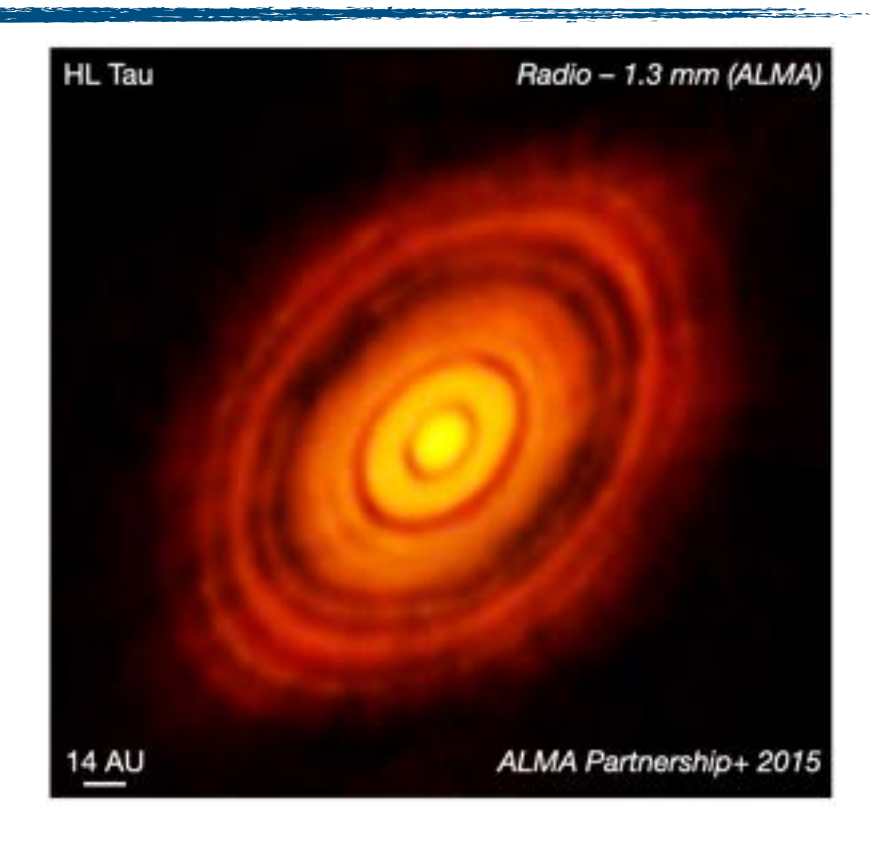
observations astronomiques

structures difficiles à observer (luminosité des étoiles)

apparaissent comme des structures continues

la révolution ALMA – distribution de la poussière millimétrique



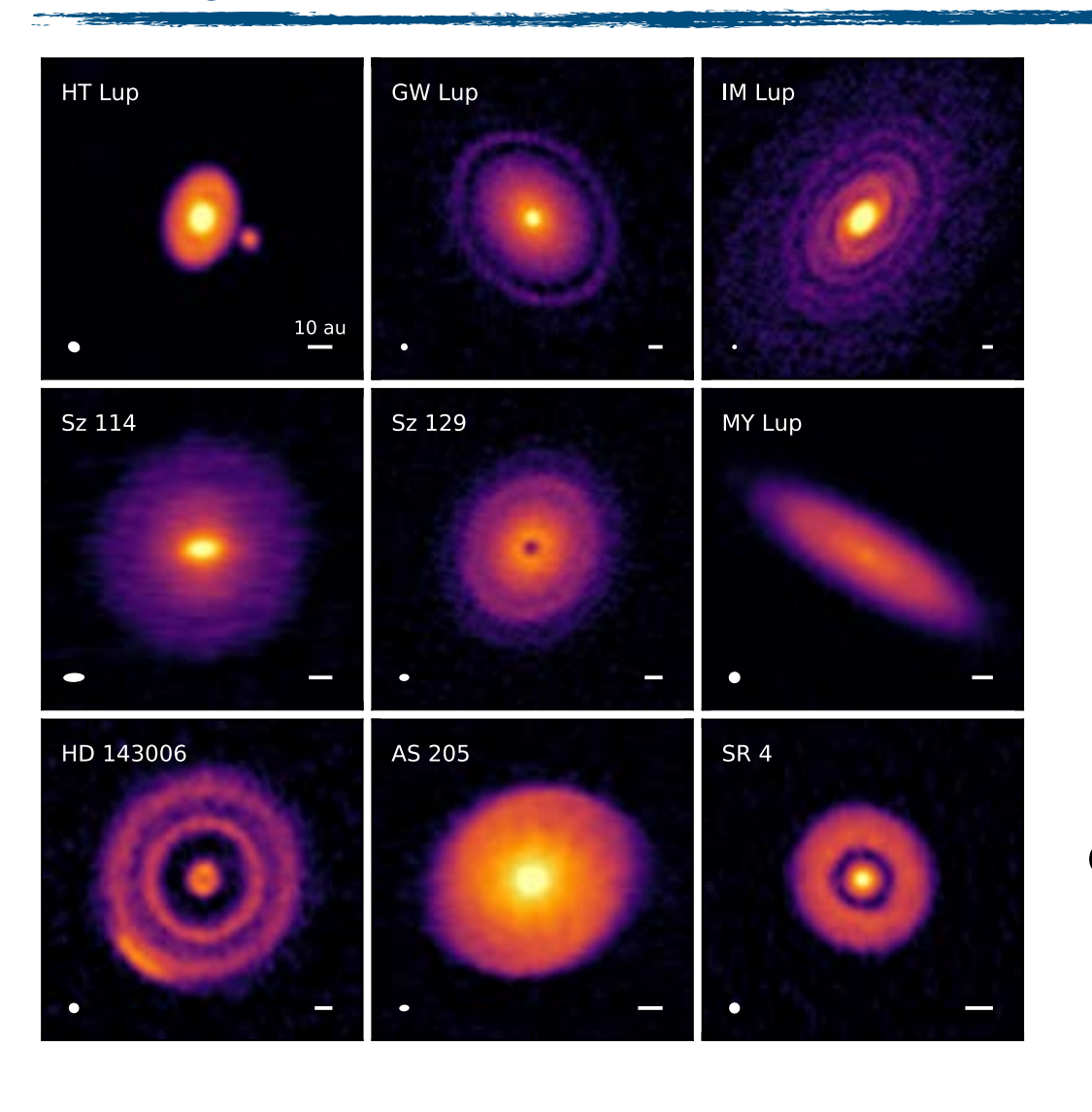




ALMA = interféromètre de 66
radiotélescopes (Atacama, Chili)

↓
distribution hétérogène
des pebbles millimétriques
(Andrews+ 2018)

avantages et limitations



avantages

→ nombre important de disques observés

limitations

→ instantané de la distribution de la poussière

→ résolution spatiale =
 quelques unités astronomiques
 (distance Terre-Soleil)

météorites comme complément aux observations astronomiques



météorites sont des roches résiduelles du disque témoins de la formation du système solaire







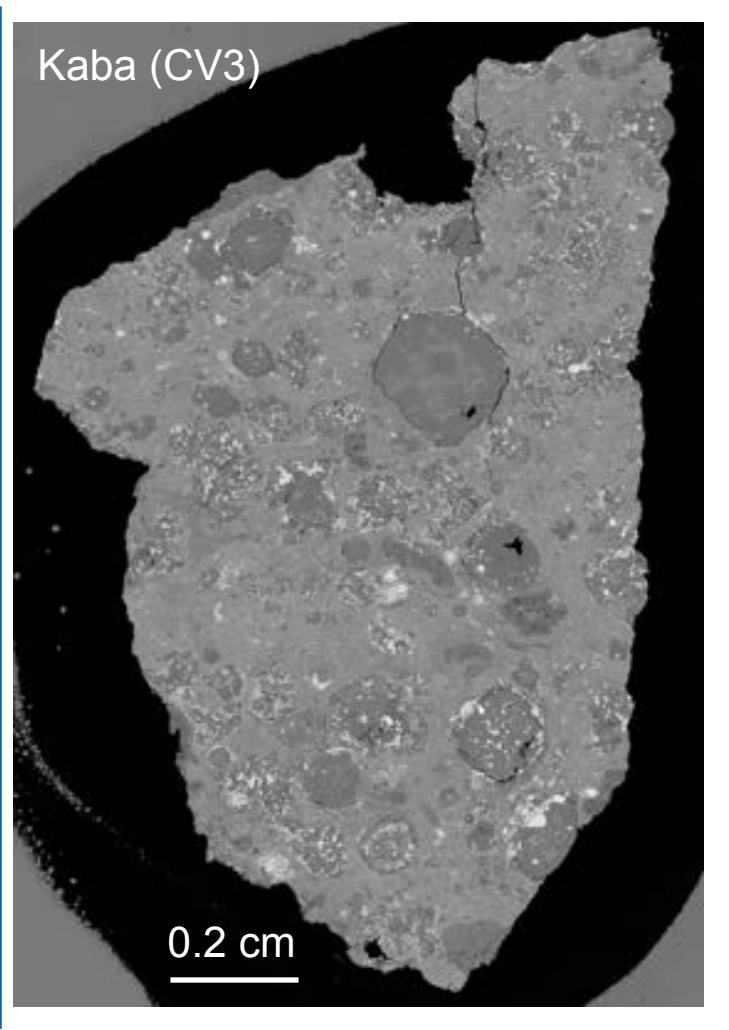
météorites de fer = noyaux planétésimaux = processus magmatiques



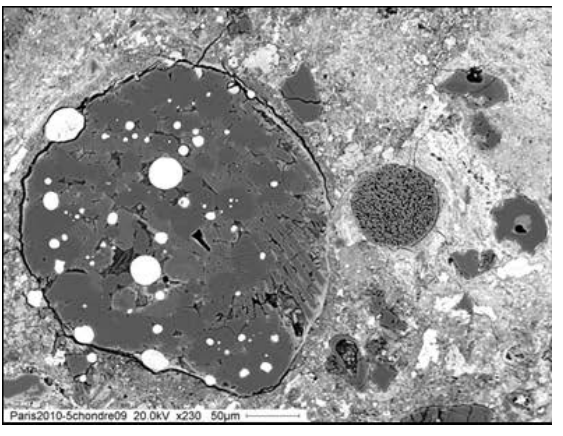
formés par des processus de condensation à partir d'un gaz de composition solaire (T_{cond} CAIs > T_{cond} AOAs)

inclusions réfractaires

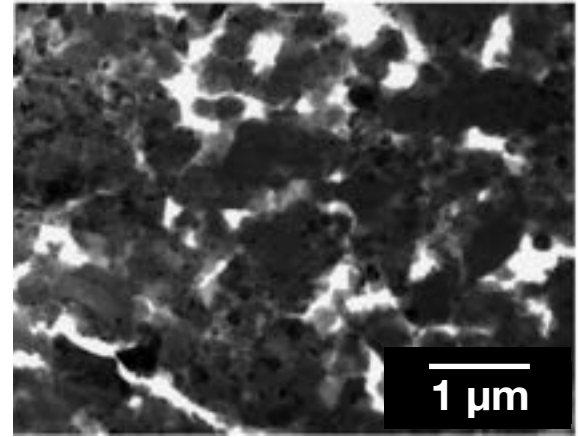
Calcium-Aluminium Inclusions Amoeboid Olivine Aggregates



chondres

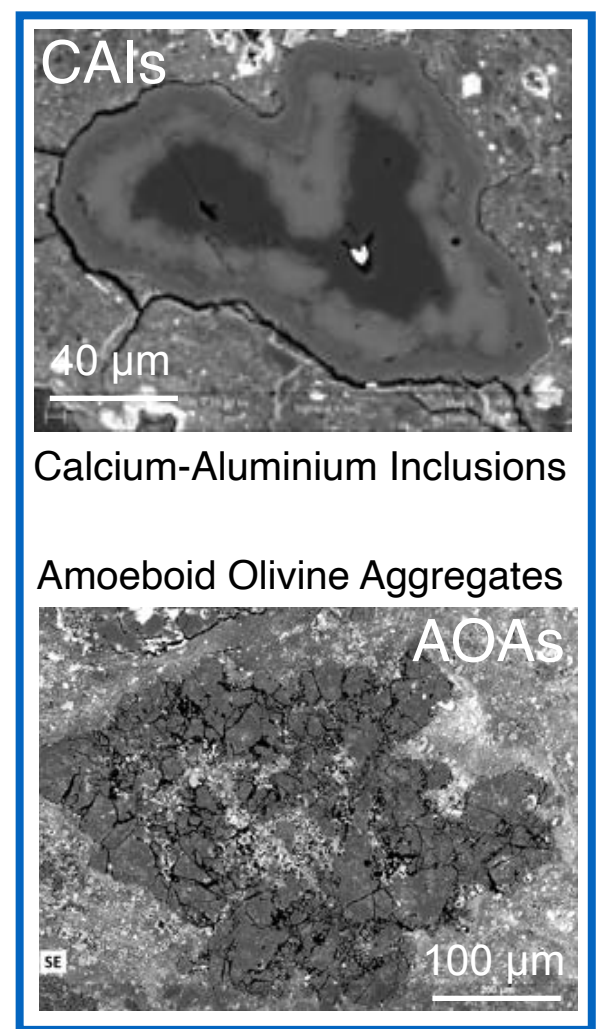


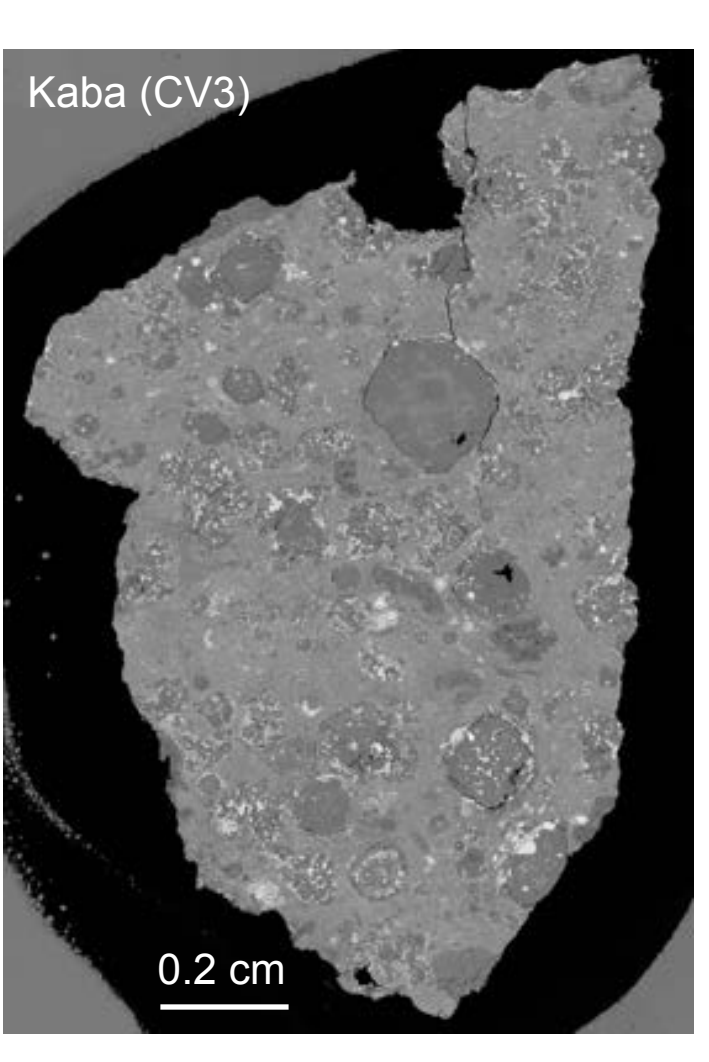
matrice à grains fins



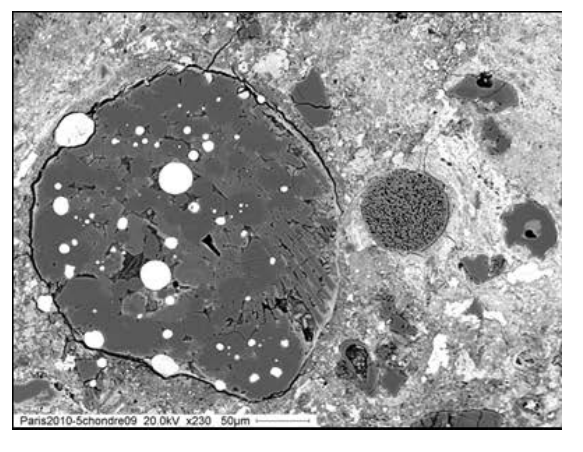
résultent de processus magmatiques complexes (> 1200 K)

inclusions réfractaires

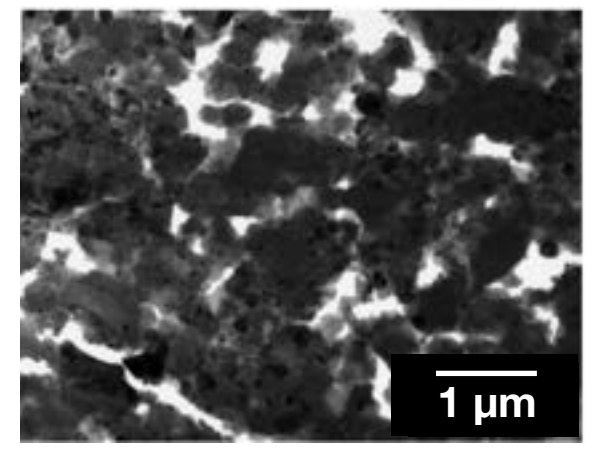




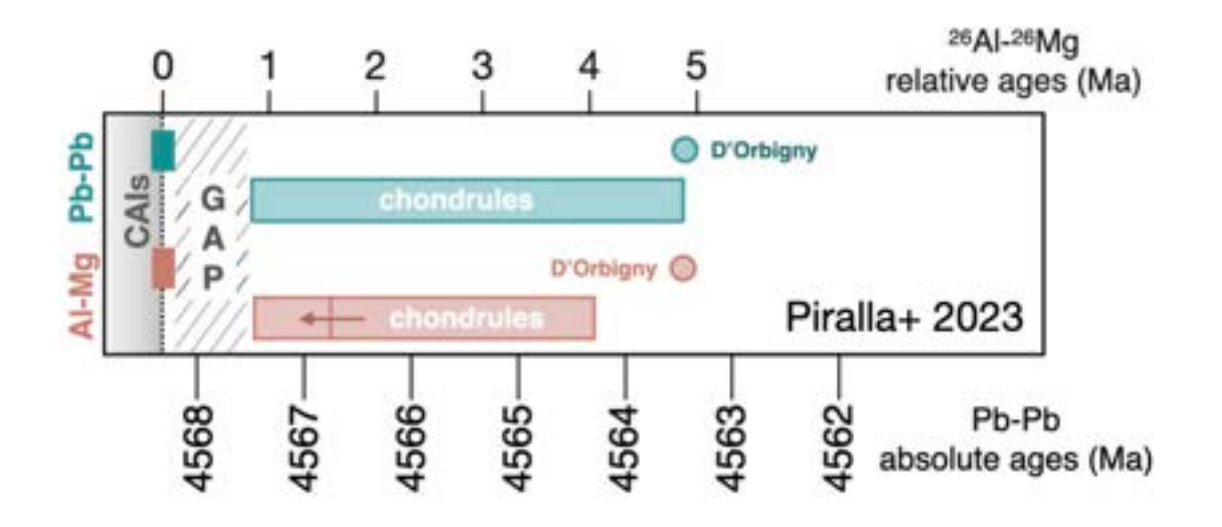
chondres



matrice à grains fins



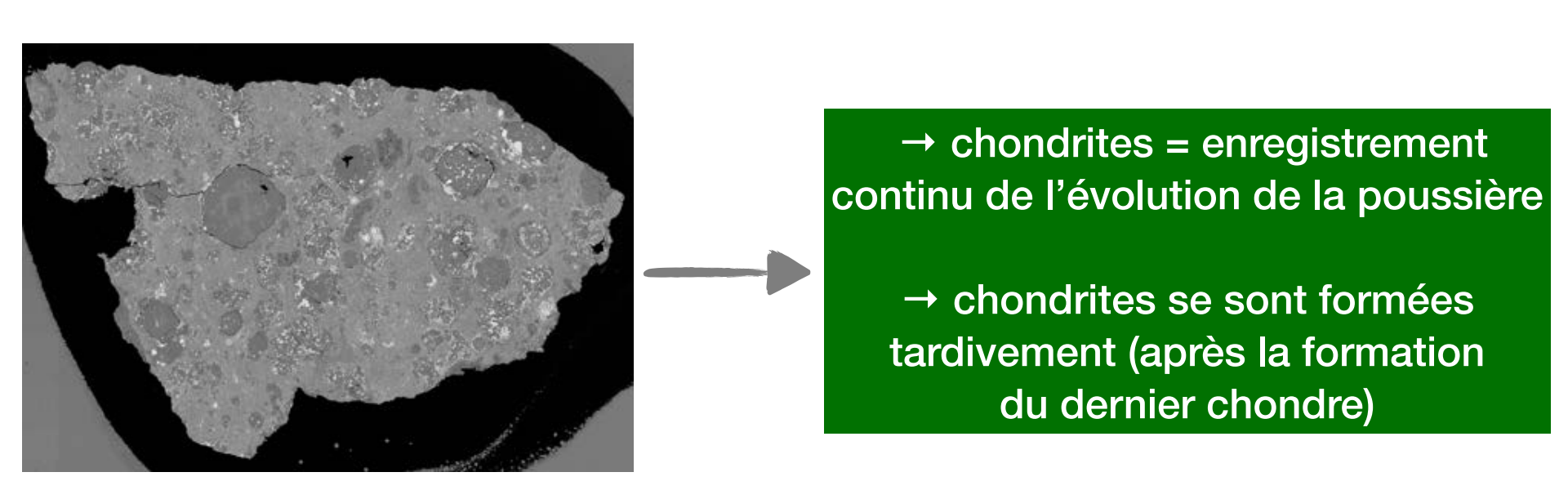
chronologie de formation des chondrules



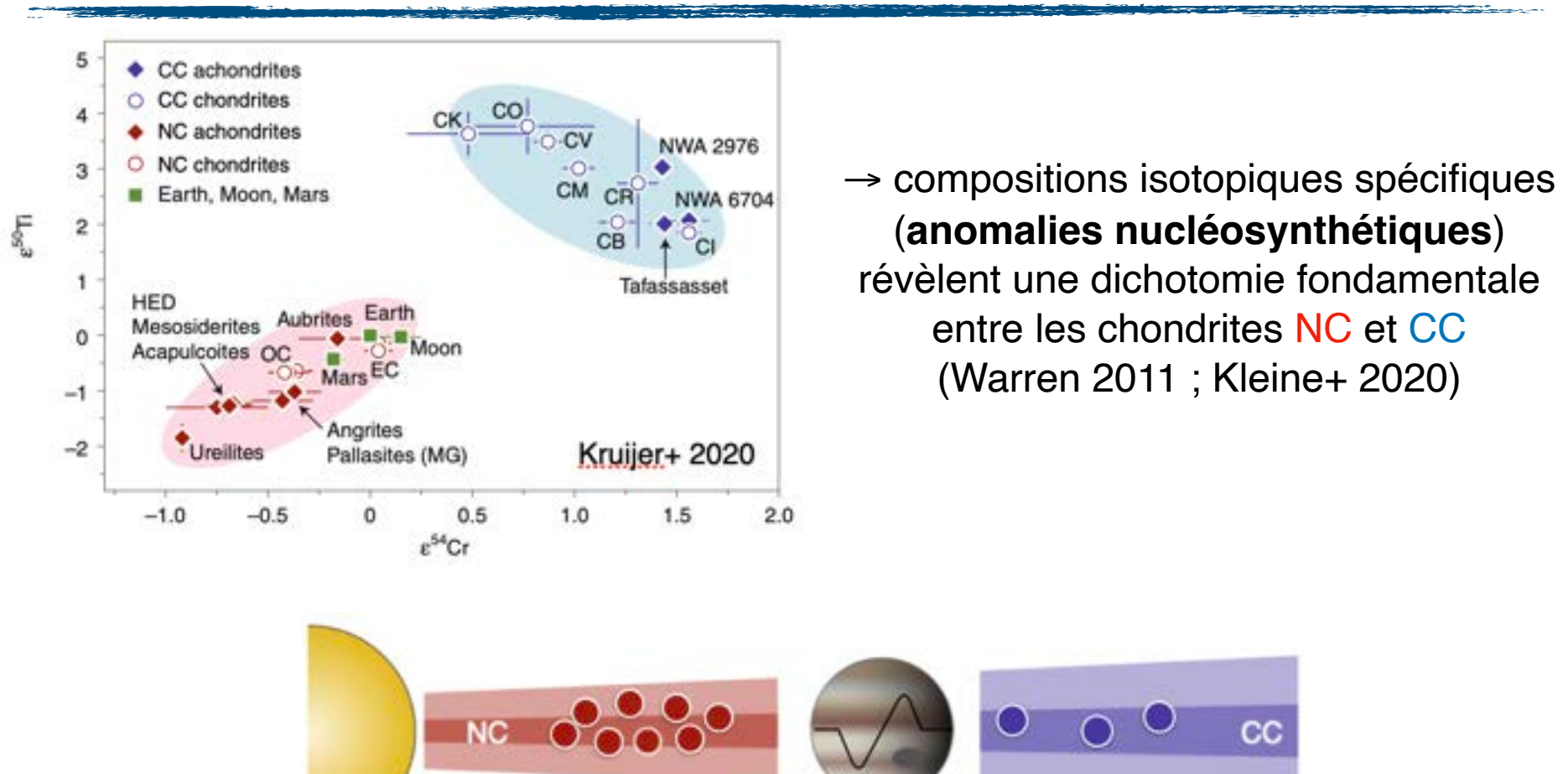
formation des chondres pendant centaines de milliers d'années

→ même au sein d'une chondrite donnée

(Bollard+ 2017; Sirion+ 2021, Fukuda+ 2022, Piralla+ 2023)

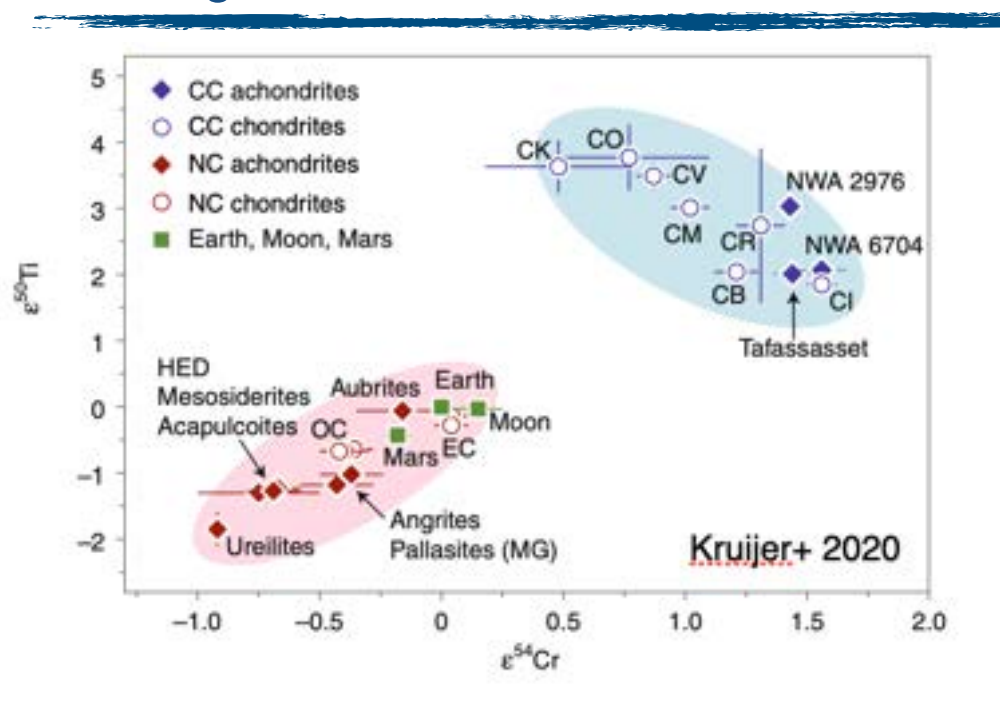


chondrites enregistrent également la structure du système solaire

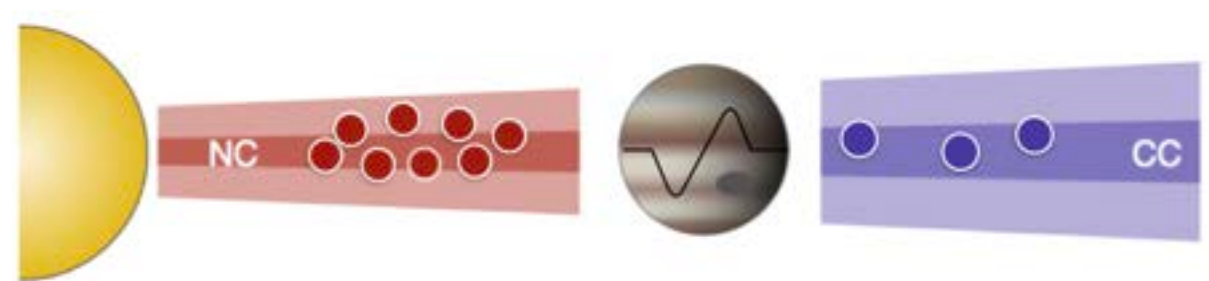


→ au moment de la formation des chondres,
 le disque était divisé en deux réservoirs (Warren, 2011)

avantages et limitations

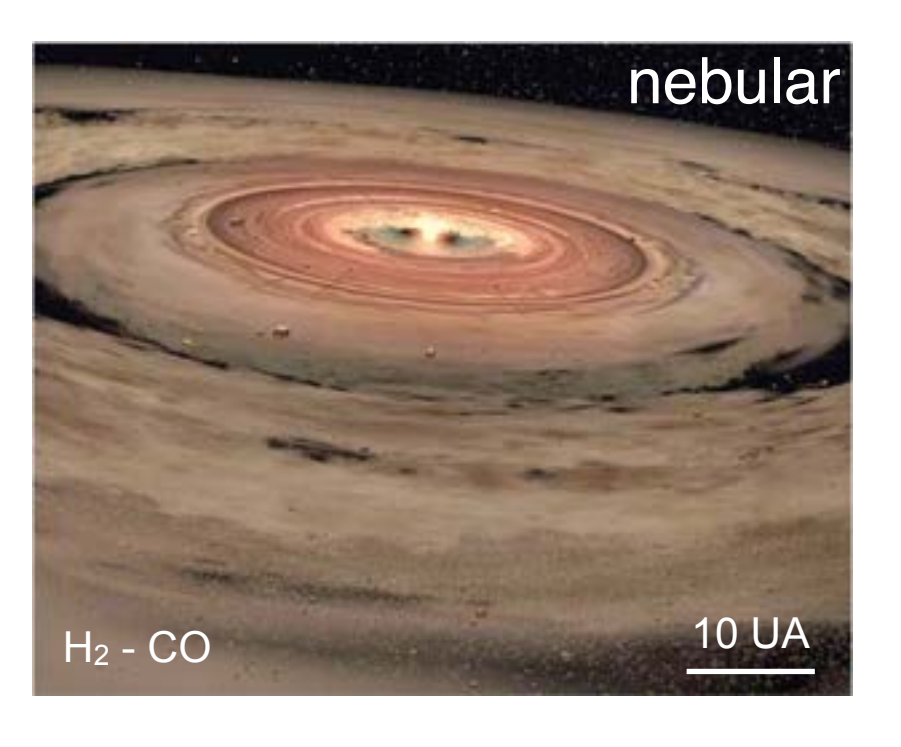


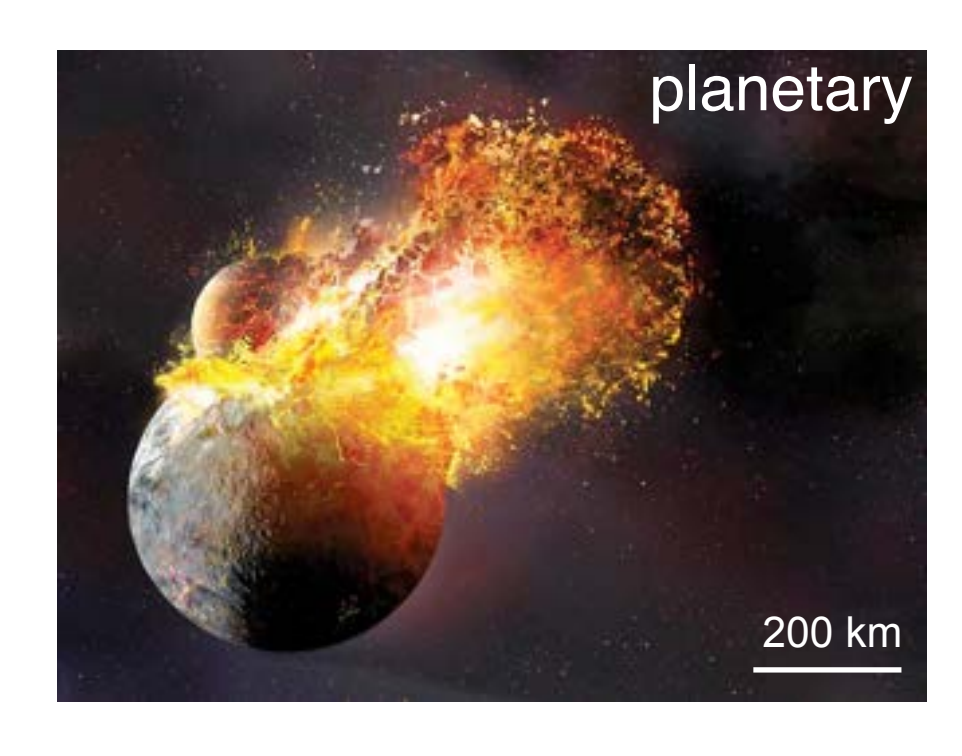
→ compositions isotopiques spécifiques (anomalies nucléosynthétiques) révèlent une dichotomie fondamentale entre les chondrites NC et CC (Warren 2011 ; Kleine+ 2020)



- → avantage : bonnes résolutions spatiales et temporelles pour étudier l'évolution de la poussière
 - → limitation : données sur un seul disque

aucun consensus aujourd'hui sur leurs conditions de formation

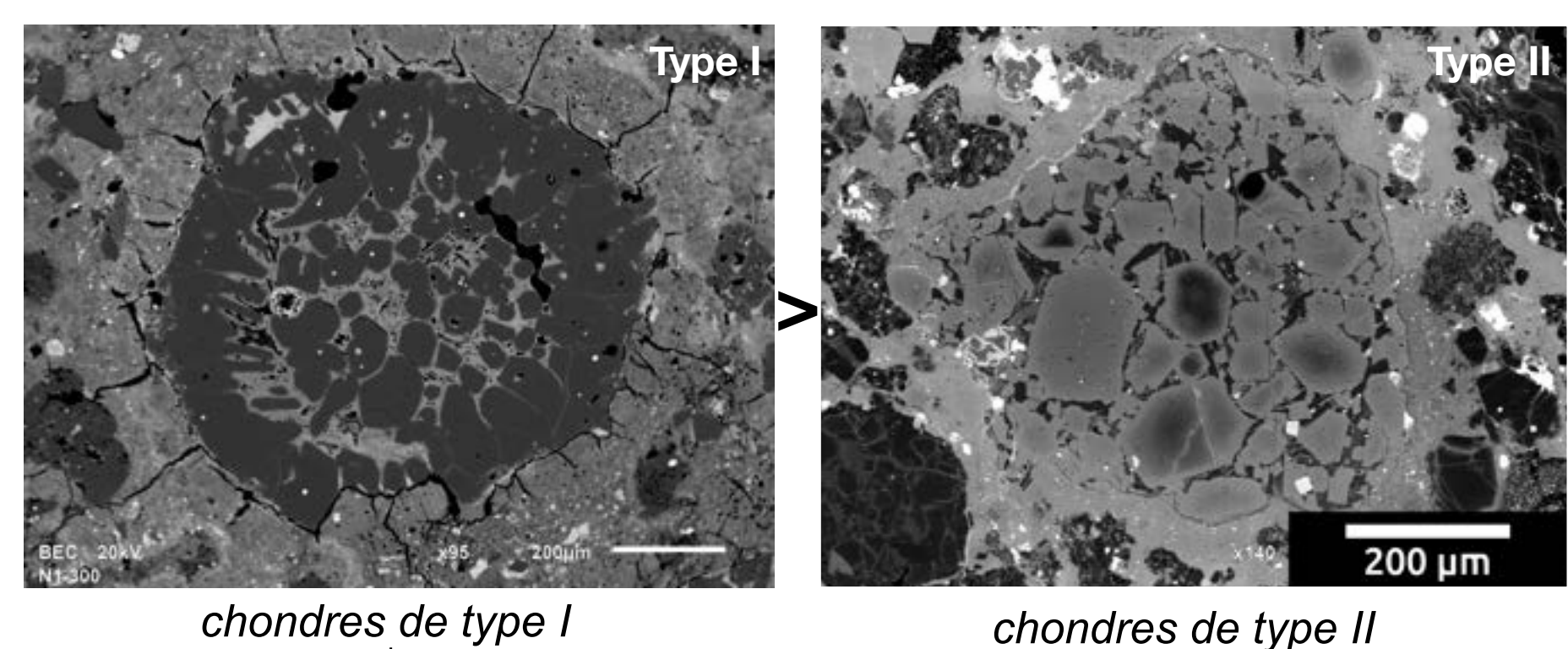




- → fusion incomplète de précurseurs μ m (Hewins+, 2005; Tenner+, 2017)
- → recyclage des condensats précoces (Marrocchi+ 2018, 2019)

- → collisions entre protoplanètes (Libourel & Krot 2007, Faure+, 2017)
- → goulettes d'impact (Lichtenberg+ 2018, Libourel+ 2022)

plus de 90 % des chondres sont porphyriques (= grands minéraux)

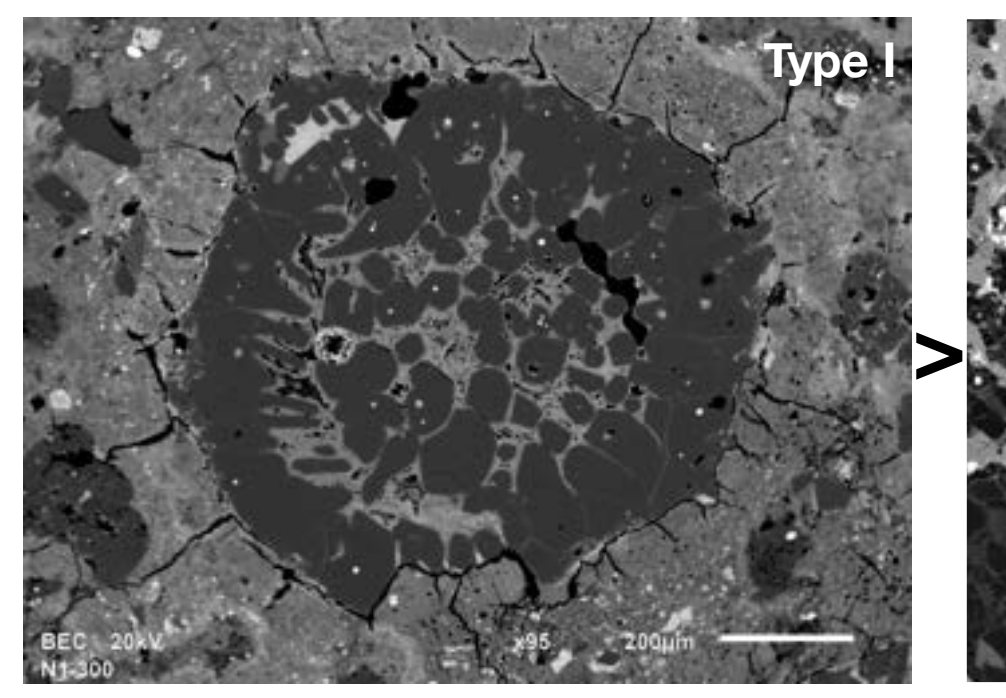


conditions réductrices
(Fe dans des billes de métal)

conditions oxydantes
(Fe dans les silicates)

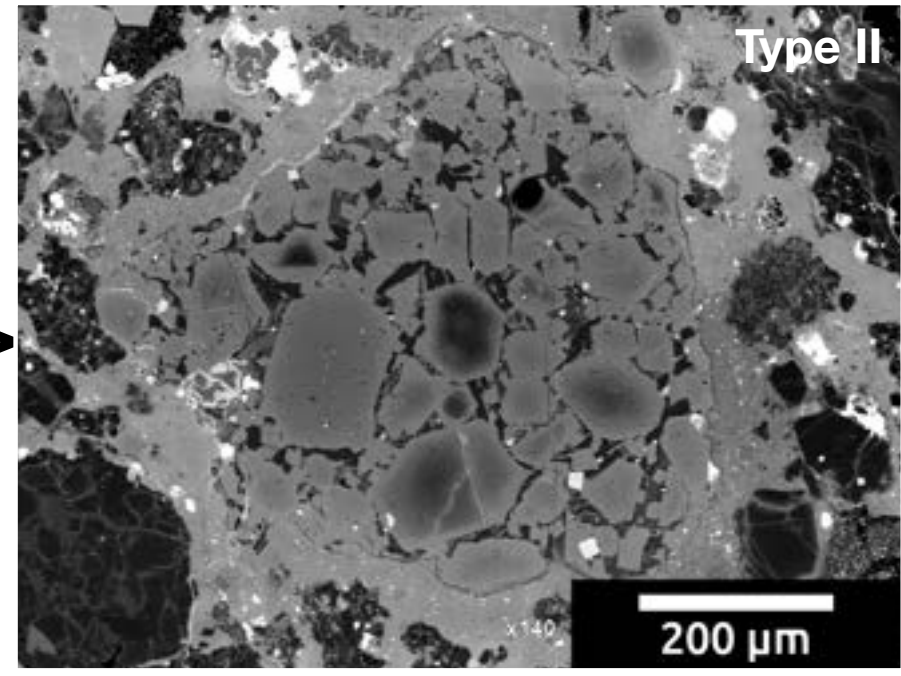
CAIs, AOAs et chondres de type I et type II coexistent dans les chondrites carbonées

plus de 90 % des chondres sont porphyriques (= grands minéraux)



chondres de type I

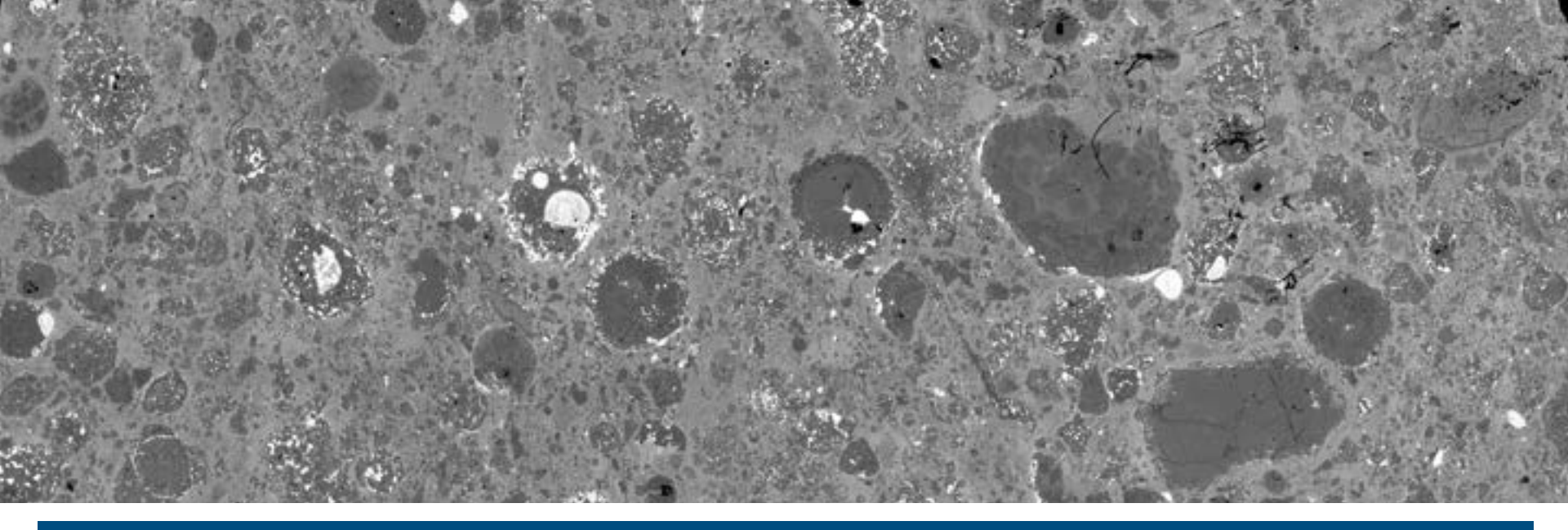
conditions réductrices (Fe dans des billes de métal)



chondres de type II

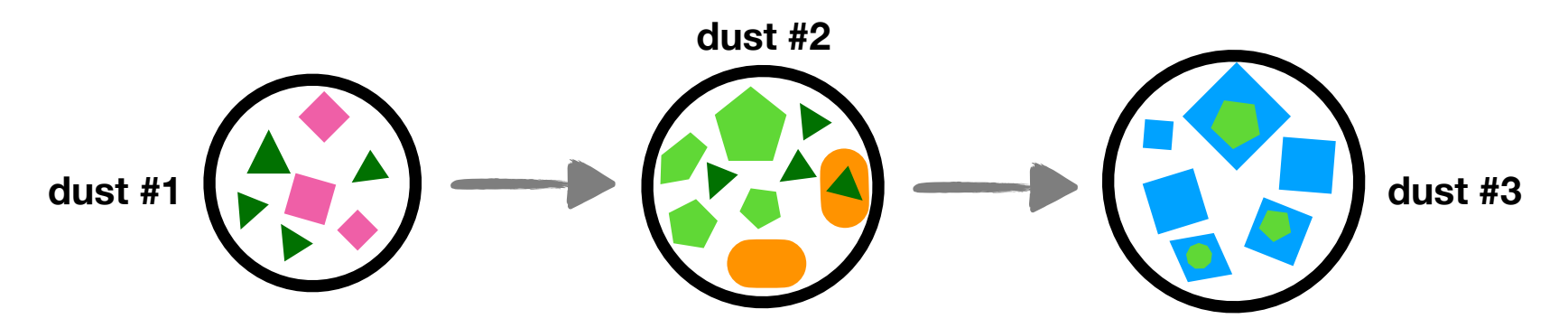
conditions oxydantes (Fe dans les silicates)

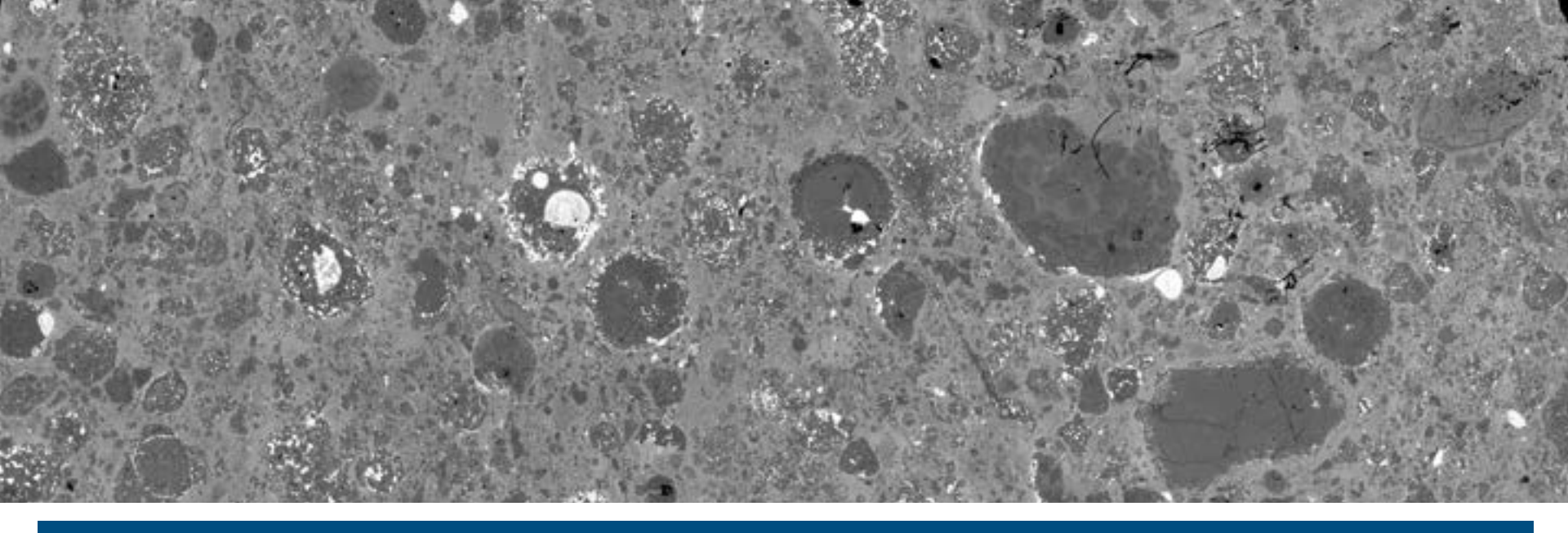
- → conditions différentes = chronologie différente et/ou régions différentes
 - → dérive les uns des autres = liens génétiques entre les ≠ poussières



lien génétique est attesté par la présence de minéraux reliques

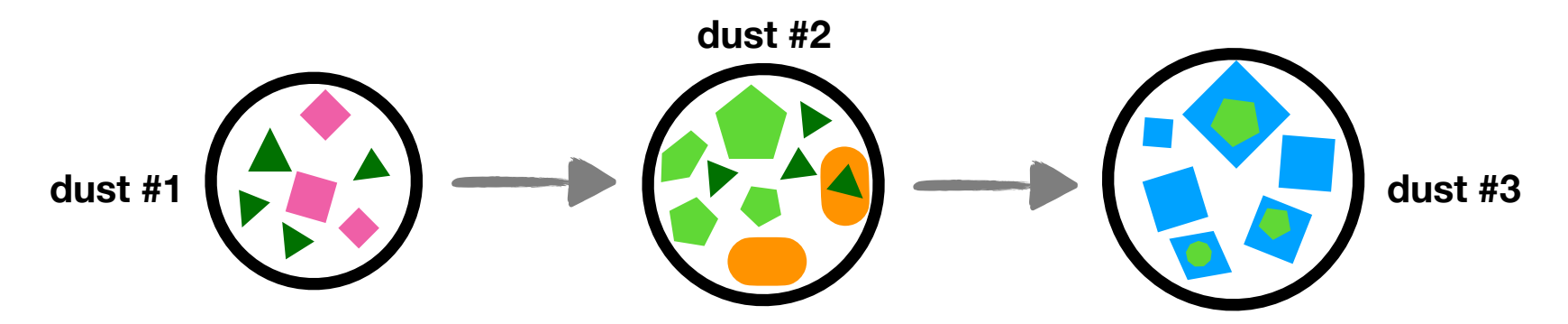
→ hérité de la génération précédente de poussière





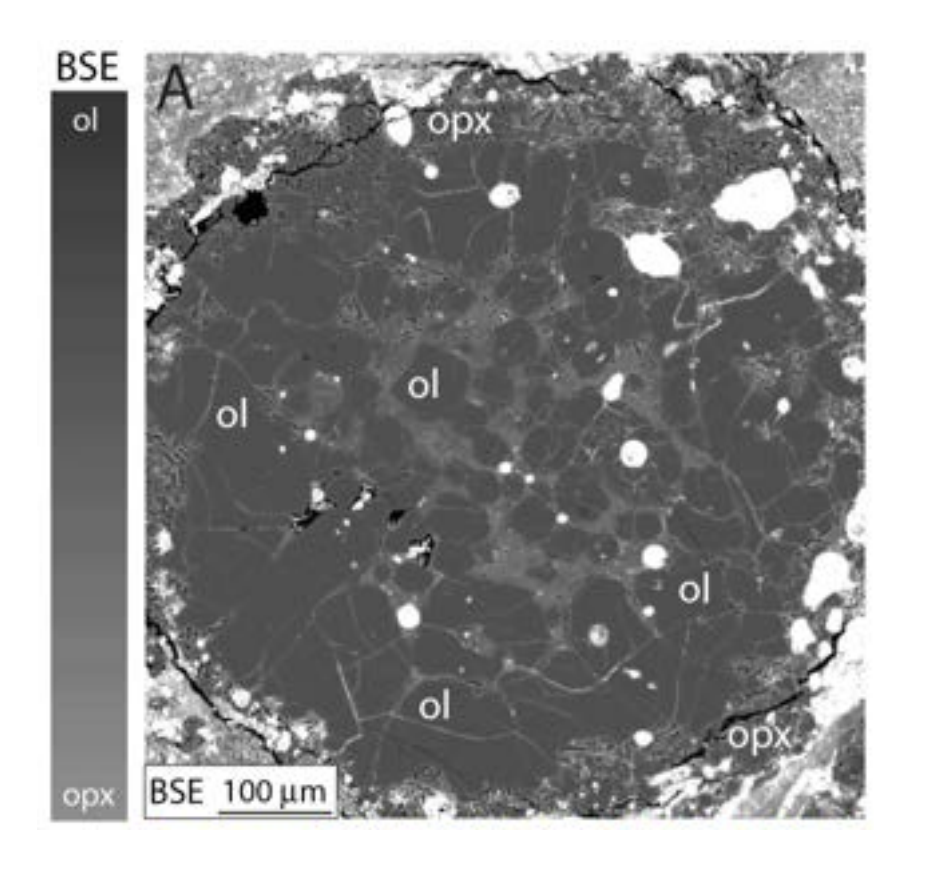
lien génétique est attesté par la présence de minéraux reliques

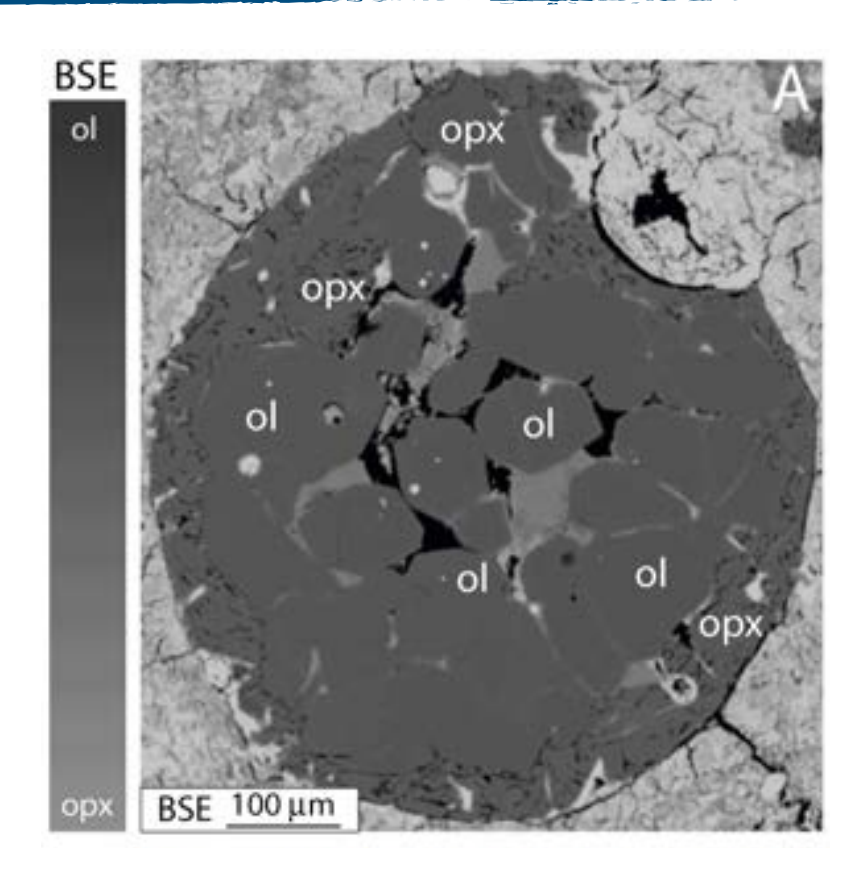
→ hérité de la génération précédente de poussière



comment reconnaître et caractériser les minéraux reliques ?

facile en théorie, plus compliqué en pratique

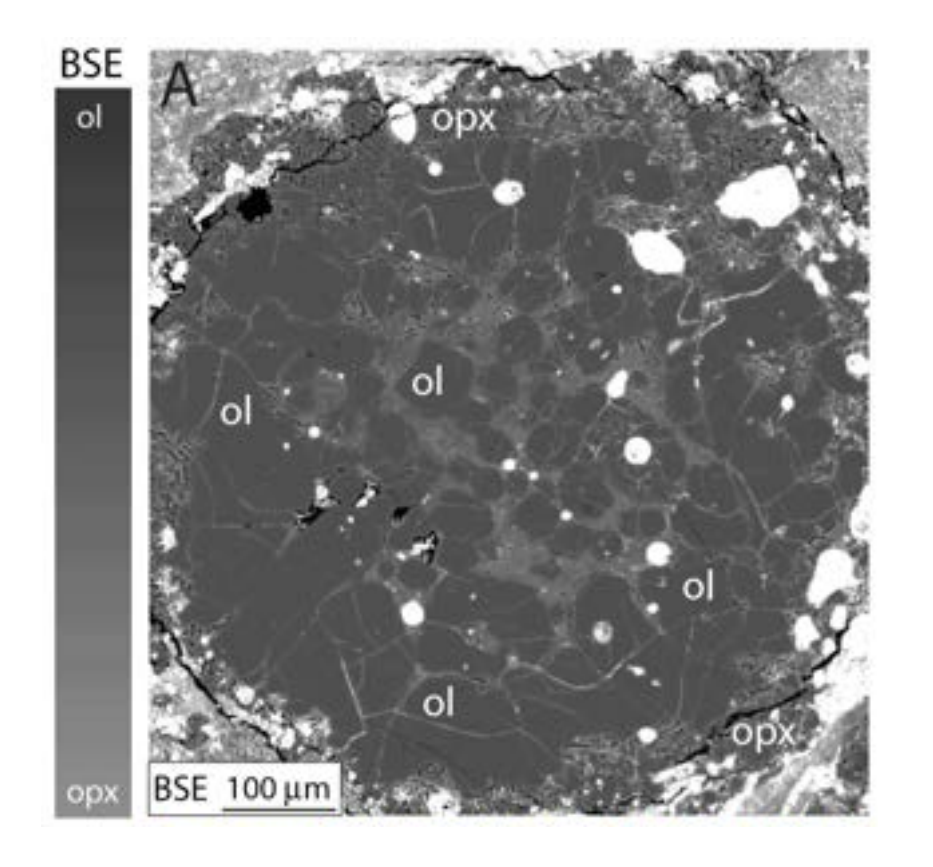


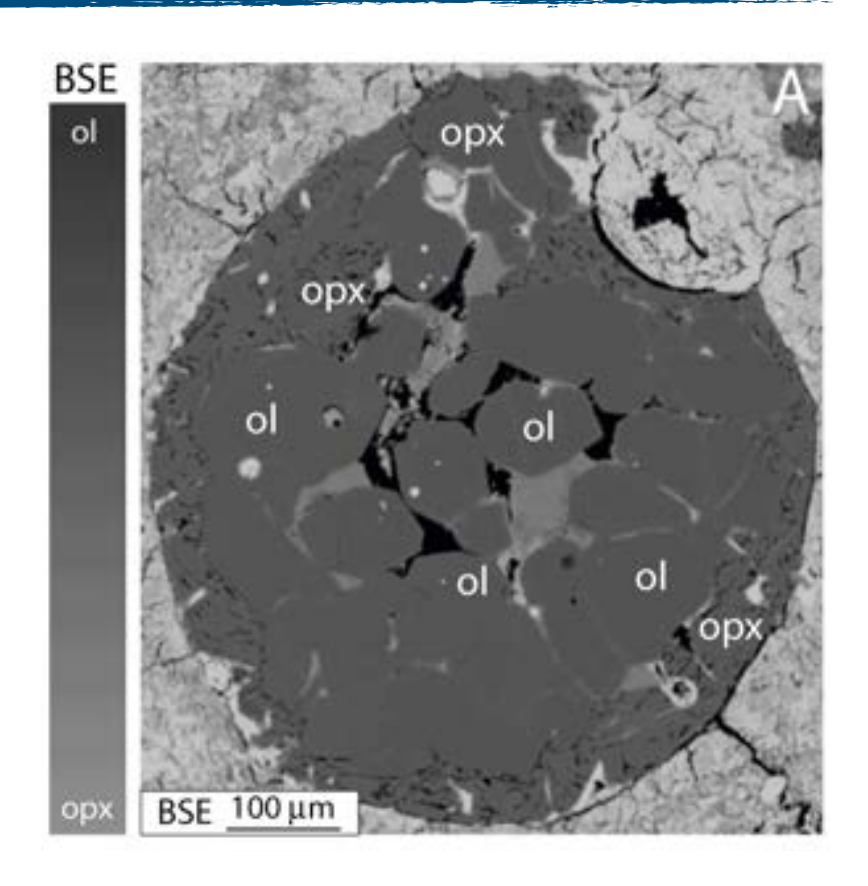


→ chondres de type I riches en olivine semblent homogènes

comment reconnaître et caractériser les minéraux reliques?

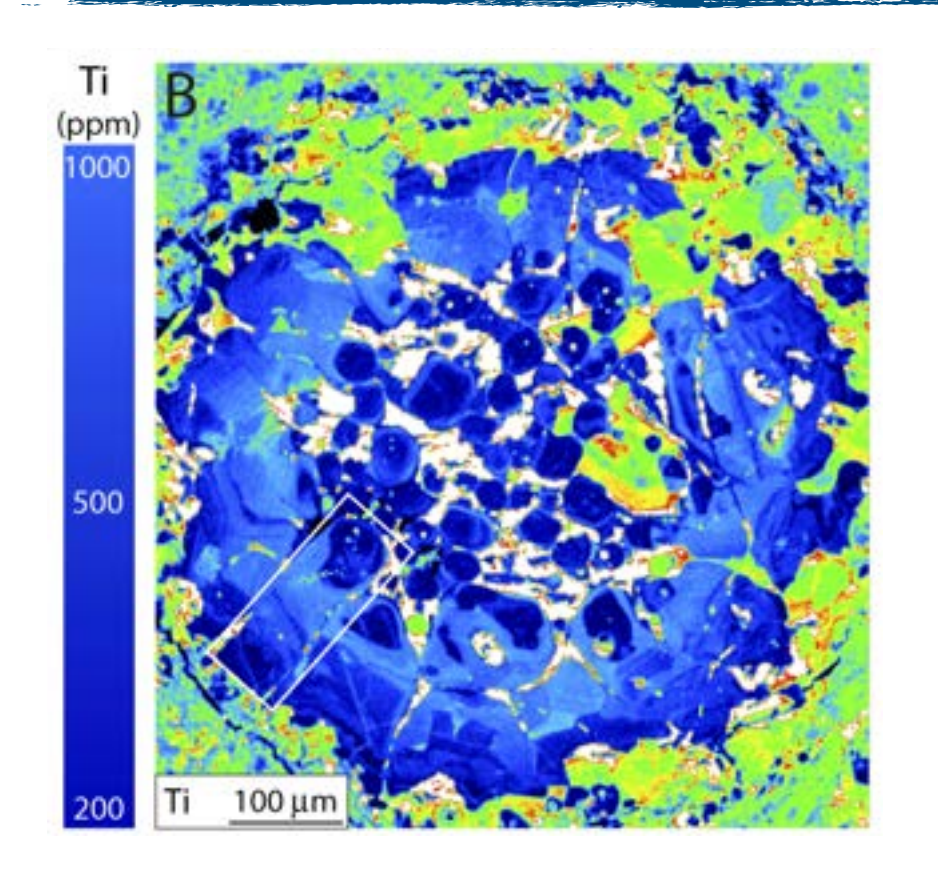
développement de nouvelles méthodes

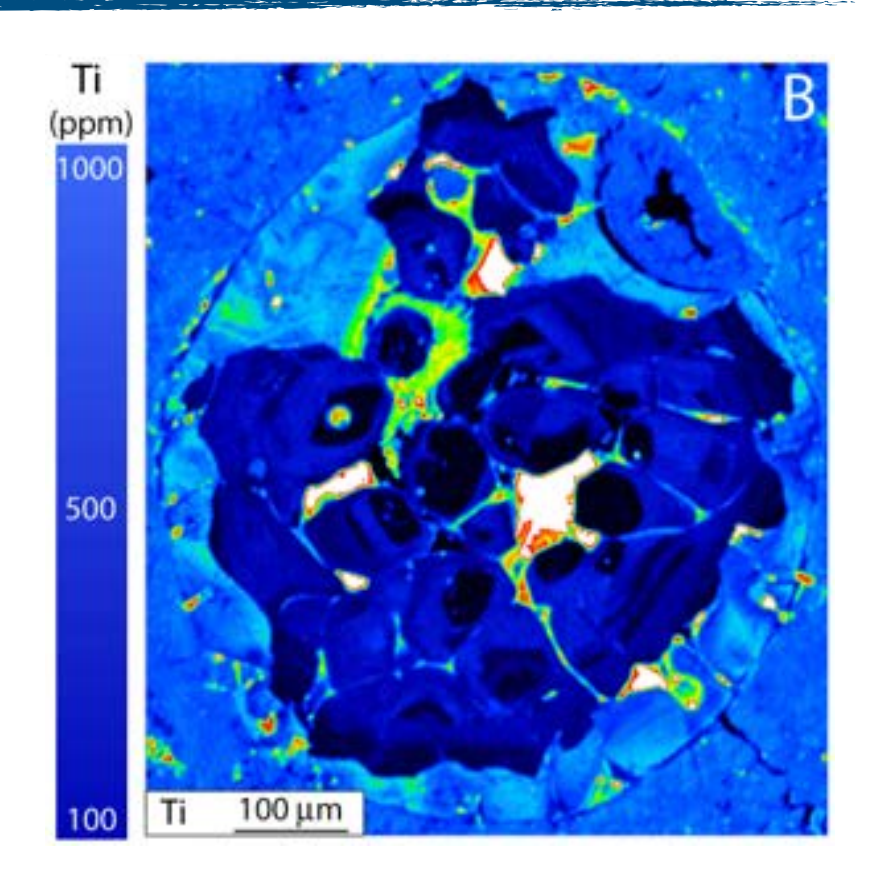




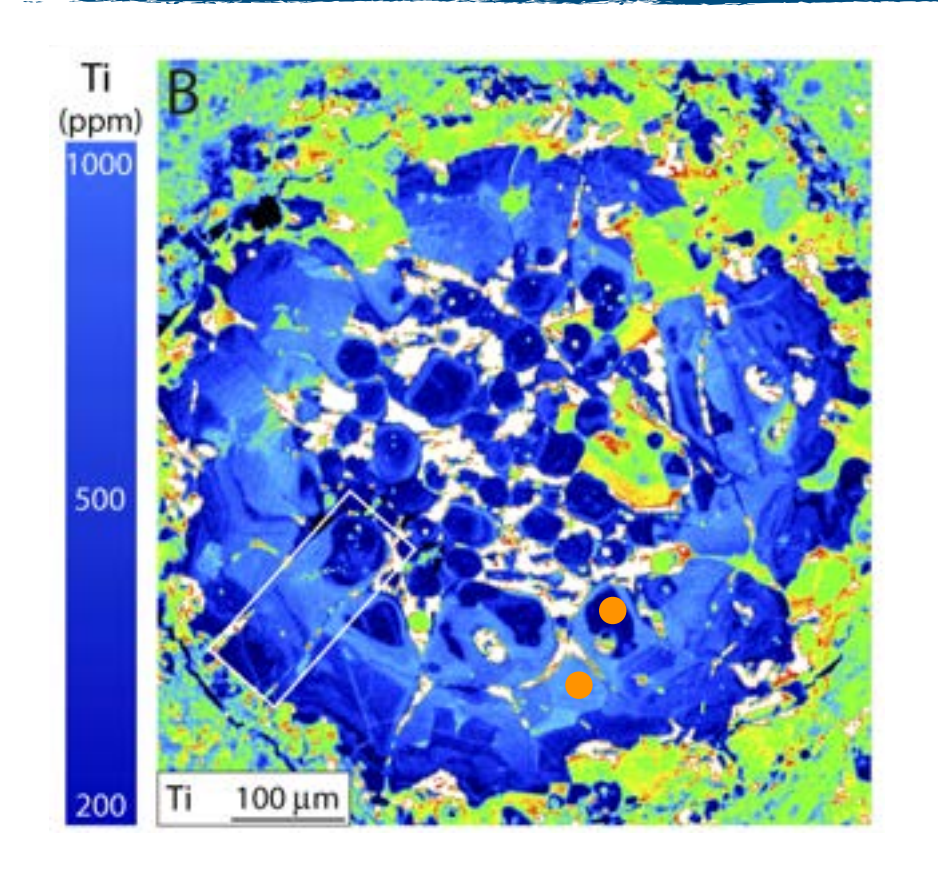
→ chondres de type I riches en olivine semblent homogènes

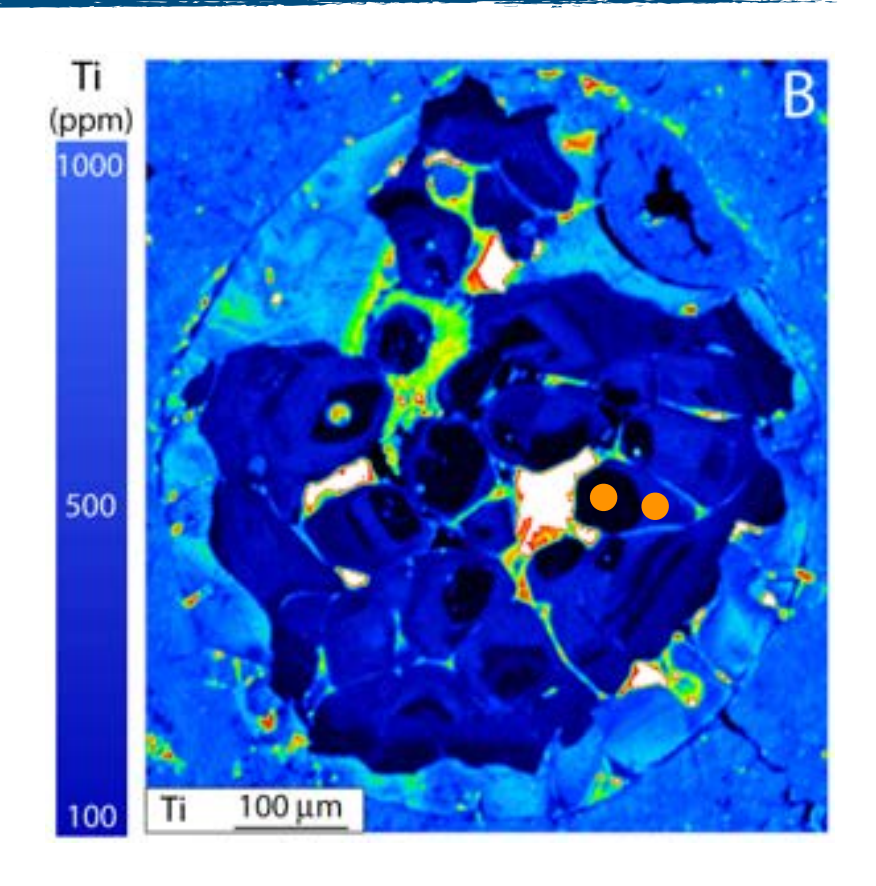
développer et utiliser des méthodes permettant de "voir" à l'intérieur des minéraux





- → chondres de type I riches en olivine semblent homogènes
- → cartes en rayon X à fort courant révèlent des textures inédites (Marrocchi+ 2018, 2019, 2022, 2024)

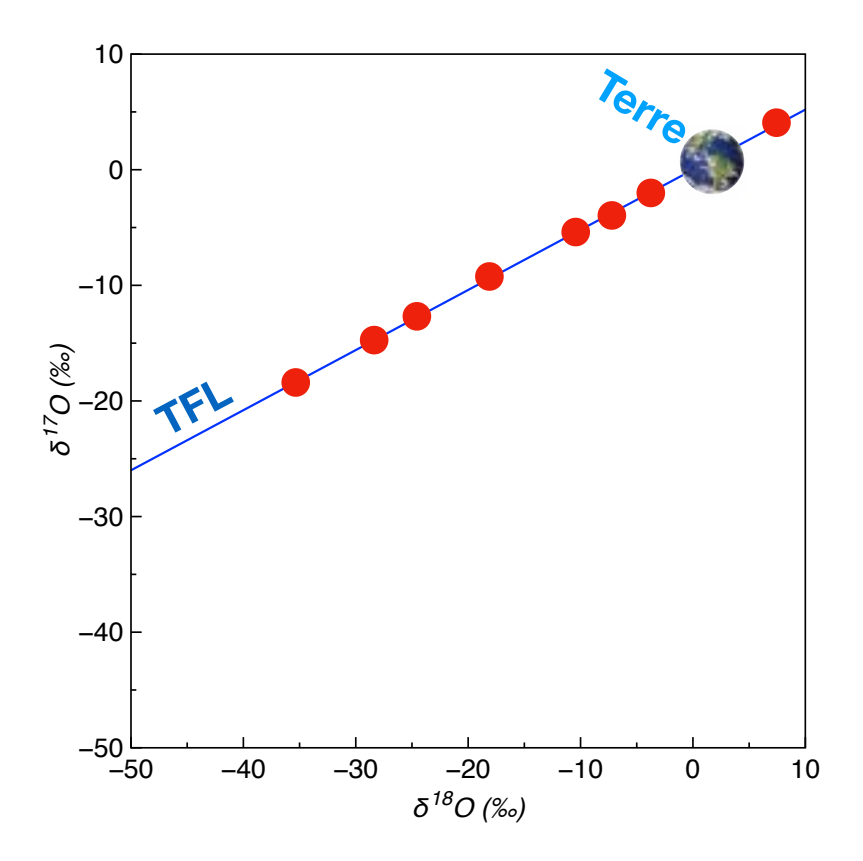




- → chondres de type I riches en olivine semblent homogènes
- → cartes en rayon X à fort courant révèlent des textures inédites (Marrocchi+ 2018, 2019, 2022, 2024)

permet de déterminer les compositions isotopiques en oxygène de grains d'olivine caractérisés chimiquement = mesures sonde ionique

concept géochimique – isotopes de l'oxygène



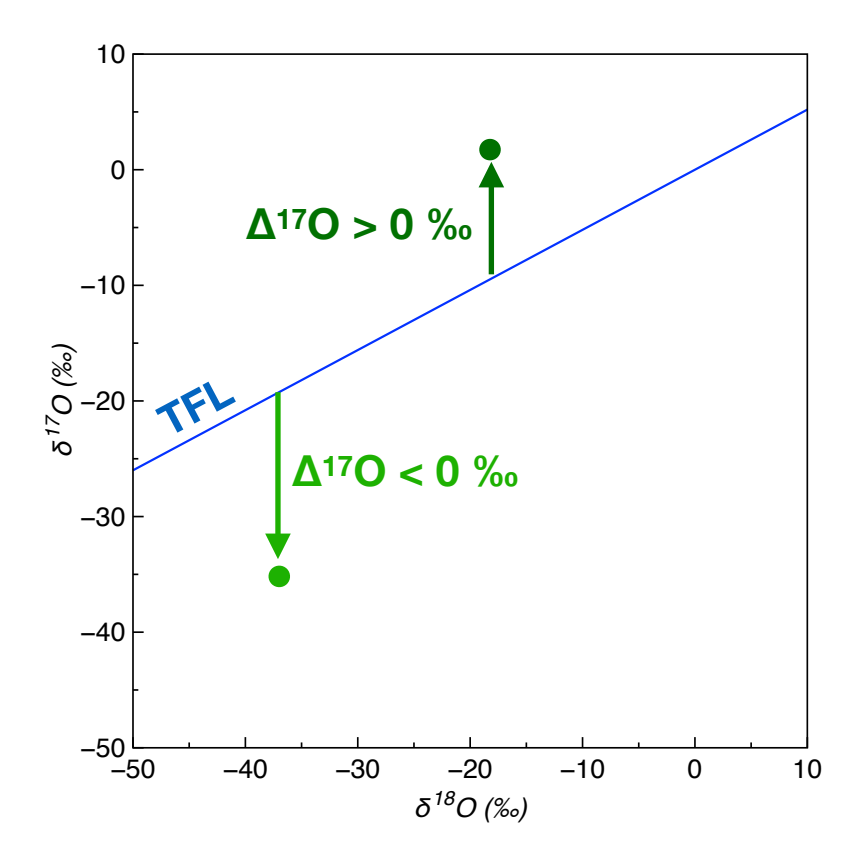
$$\delta^{18}O = \left[\frac{(^{18}O/^{16}O)_{\text{sample}}}{(^{18}O/^{16}O)_{\text{SMOW}}} - 1\right] \times 1,000$$

→ tous les échantillons terrestres s'alignent le long d'une droite de pente 0.52 (Robert+ 1992)

TFL = terrestrial fractionation line = variations dépendantes de la masse (18-16/17-16 ~ 0.52)

→ tous les processus ou réactions chimiques produisent des variations dépendantes de la masse (évaporation, condensation, cristallisation...)

concept géochimique – isotopes de l'oxygène



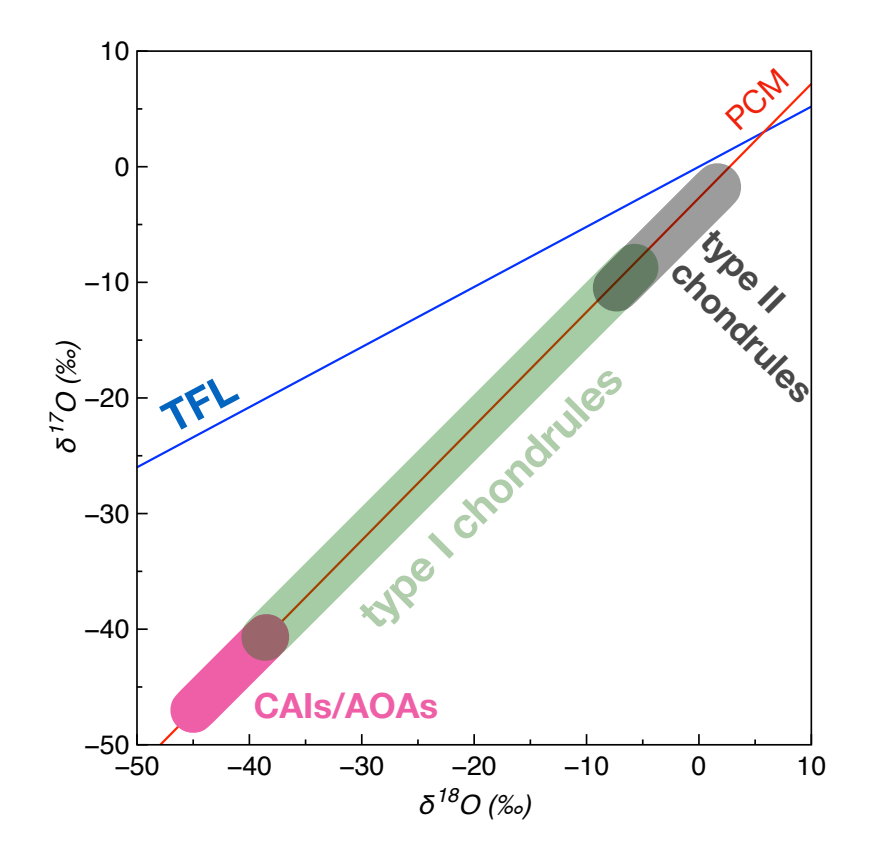
$$\delta^{18}O = \left[\frac{(^{18}O/^{16}O)_{\text{sample}}}{(^{18}O/^{16}O)_{\text{SMOW}}} - 1\right] \times 1,000$$

TFL = terrestrial fractionation line = variations dépendantes de la masse (pente 0.52)

tout écart par rapport à la TFL est exprimé à l'aide de la notation Δ^{17} O

$$\Delta^{17}O = \delta^{17}O - 0.52 \times \delta^{18}O$$

concept géochimique – isotopes de l'oxygène



$$\delta^{18}O = \left[\frac{(^{18}O/^{16}O)_{\text{sample}}}{(^{18}O/^{16}O)_{\text{SMOW}}} - 1\right] \times 1,000$$

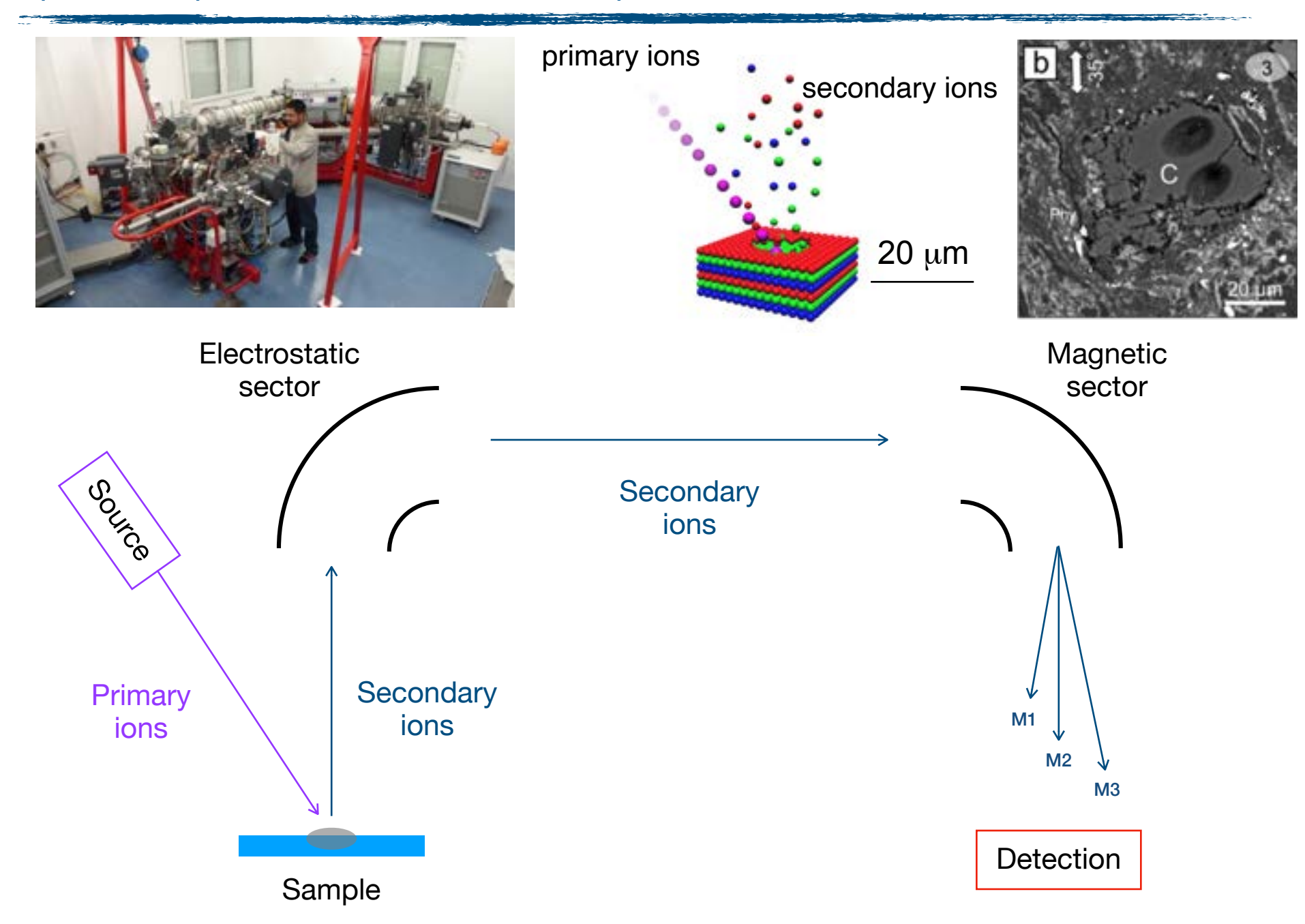
TFL = terrestrial fractionation line = variations dépendantes de la masse (pente 0.52)

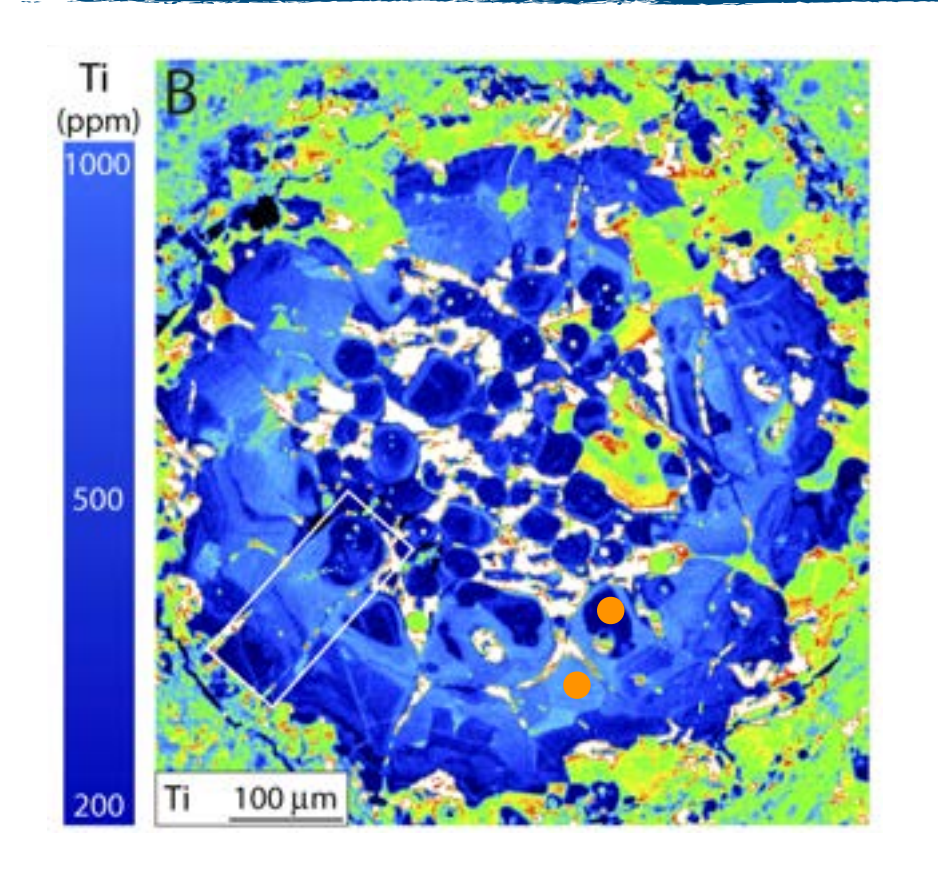
PCM = variations indépendantes de la masse = pente 1

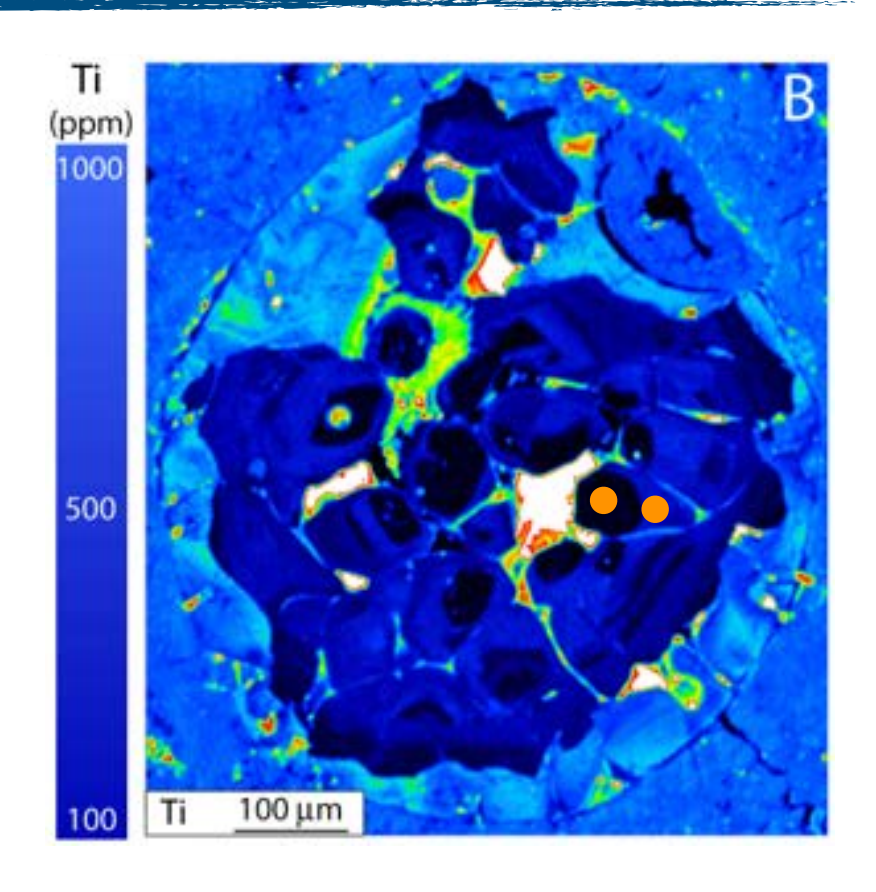


- \rightarrow CAI/AOA ont des Δ^{17} O = -23 %
- → chondres ont des compositions isotopiques s'alignant sur la PCM
 - → différence type I/type II

qu'est-ce qu'une mesure sonde ionique?



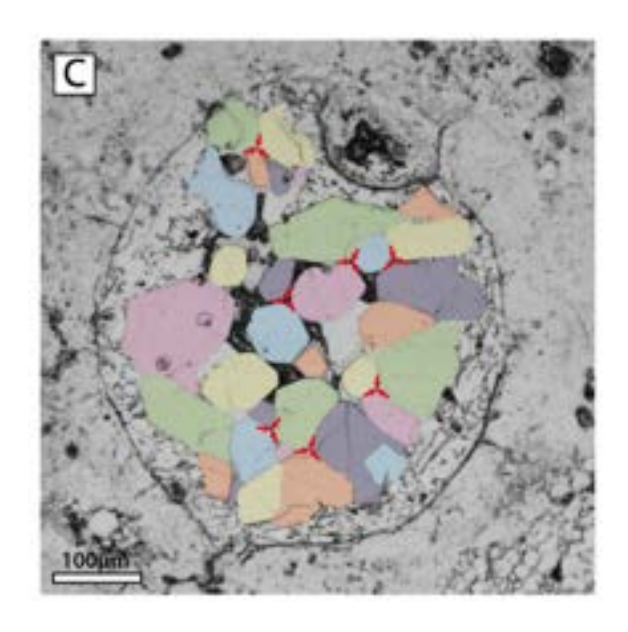




- → chondres de type I riches en olivine semblent homogènes
- → cartes en rayon X à fort courant révèlent des textures inédites (Marrocchi+ 2018, 2019, 2022, 2024)

permet de déterminer les compositions isotopiques en oxygène de grains d'olivine caractérisés chimiquement = mesures sonde ionique

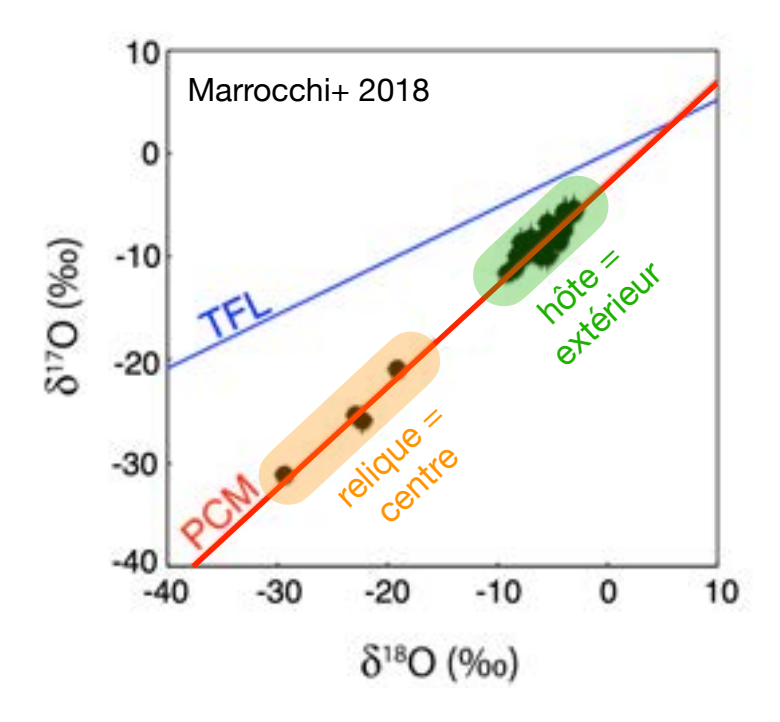
deux types d'olivine dans les chondres



Ti (ppm)
1000

Ti 100 μm

- → variations indépendantes de la masse
- → incompatible avec une origine planétaire (fragments solides de planétésimaux, Libourel+ 2007)

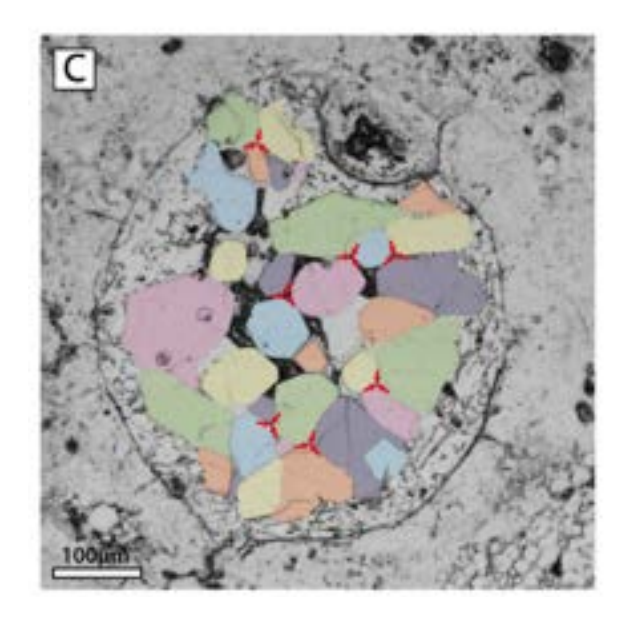


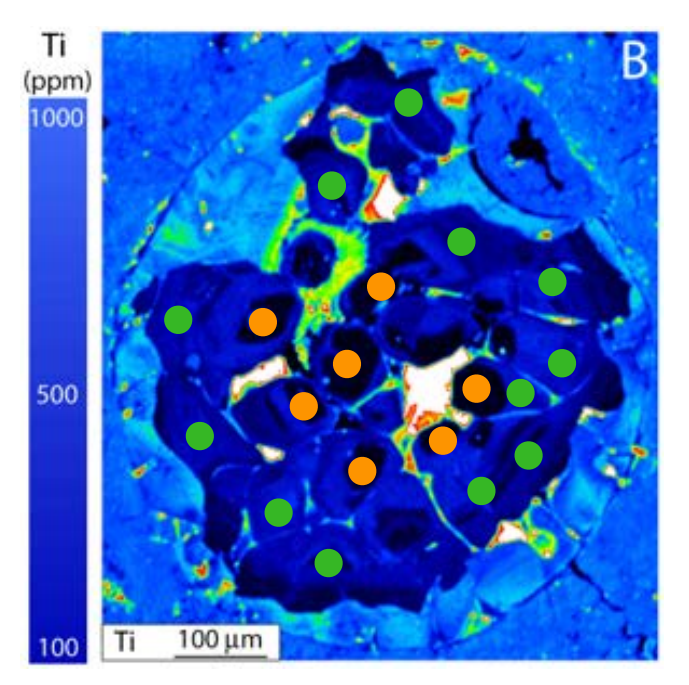
chondres sont composés de deux types d'olivines :

— olivine reliques hérités des précurseurs

— olivines hôtes cristallisées lors de la formation des chondres

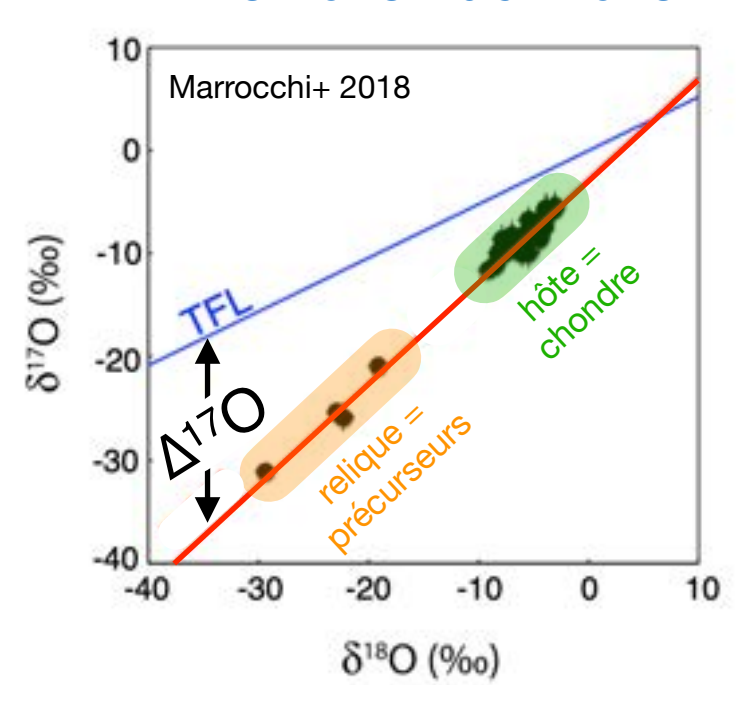
nature des olivines reliques ?



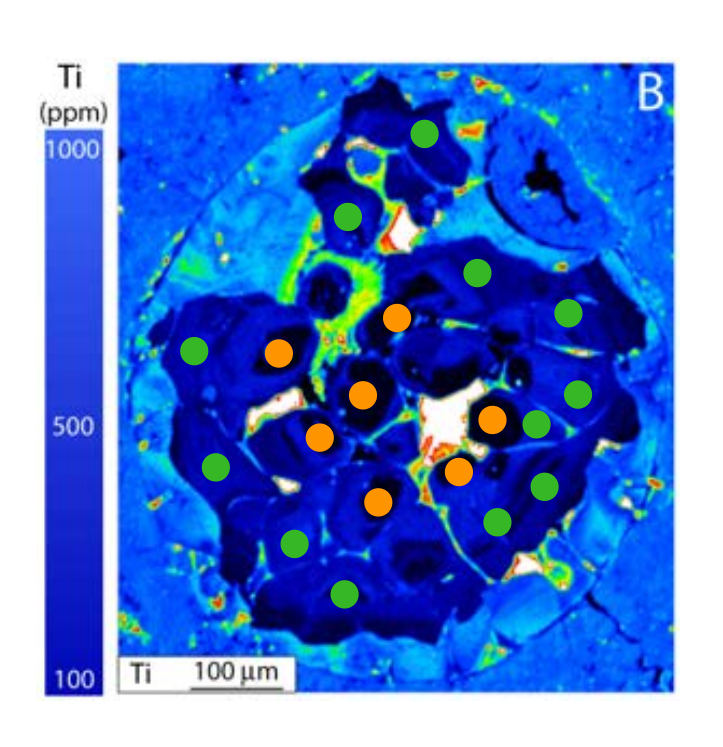


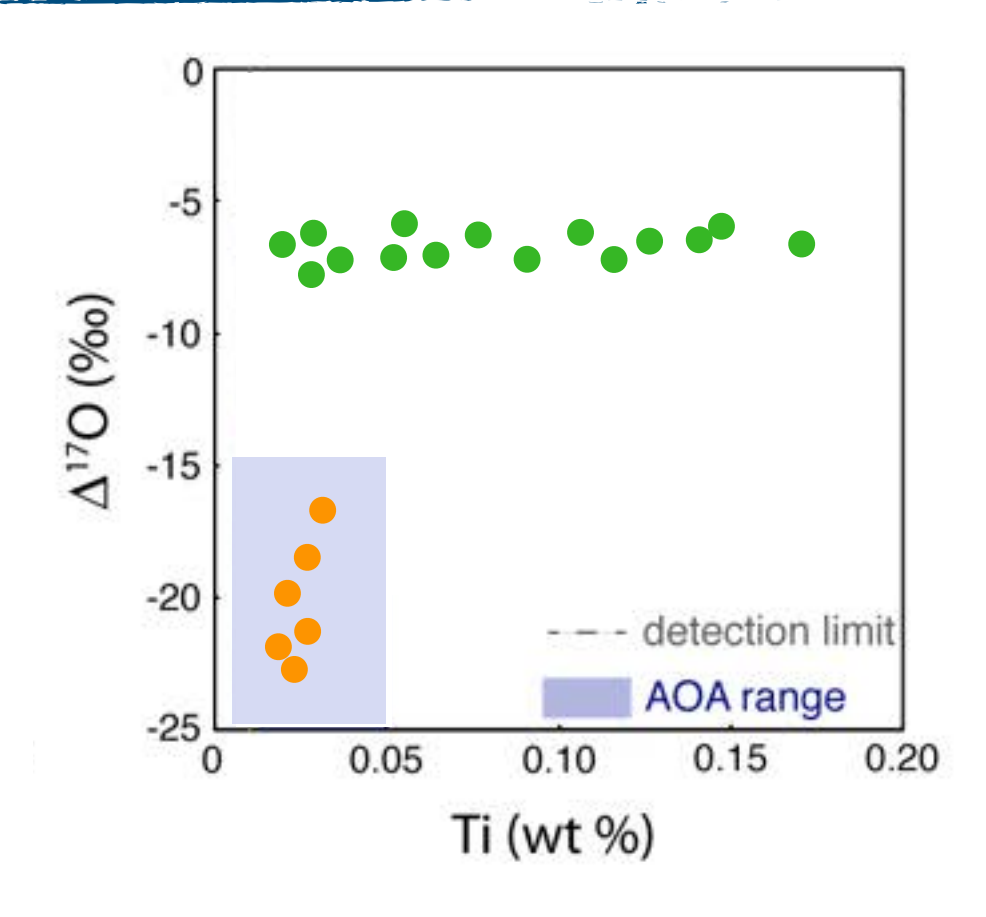
- → variations indépendantes de la masse
- → incompatible avec une origine planétaire (fragments solides de planétésimaux, Libourel+ 2007)

$$\Delta^{17}O = \delta^{17}O - 0.52 \times \delta^{18}O$$



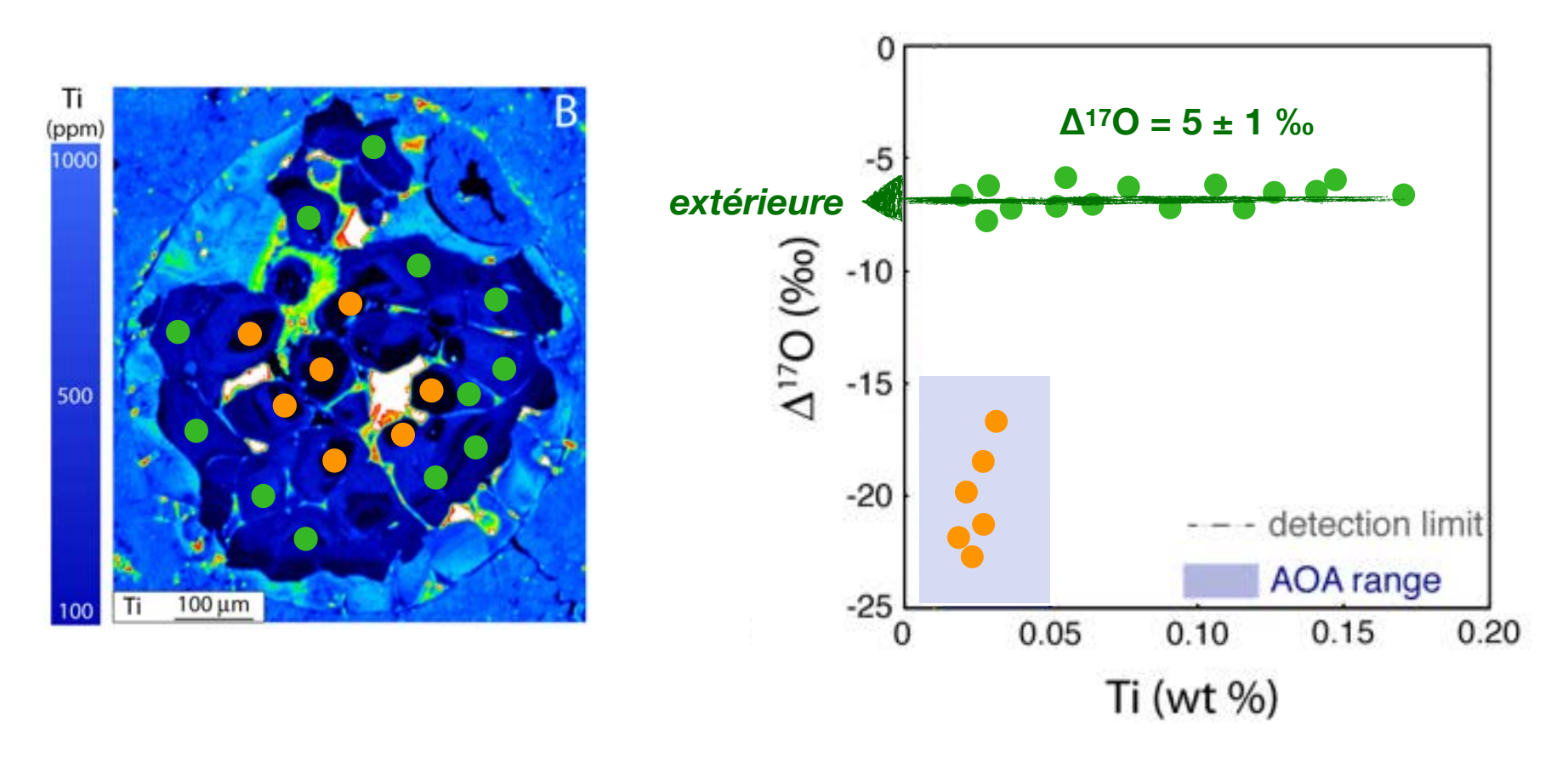
quelle est la nature et l'origine des olivines reliques?





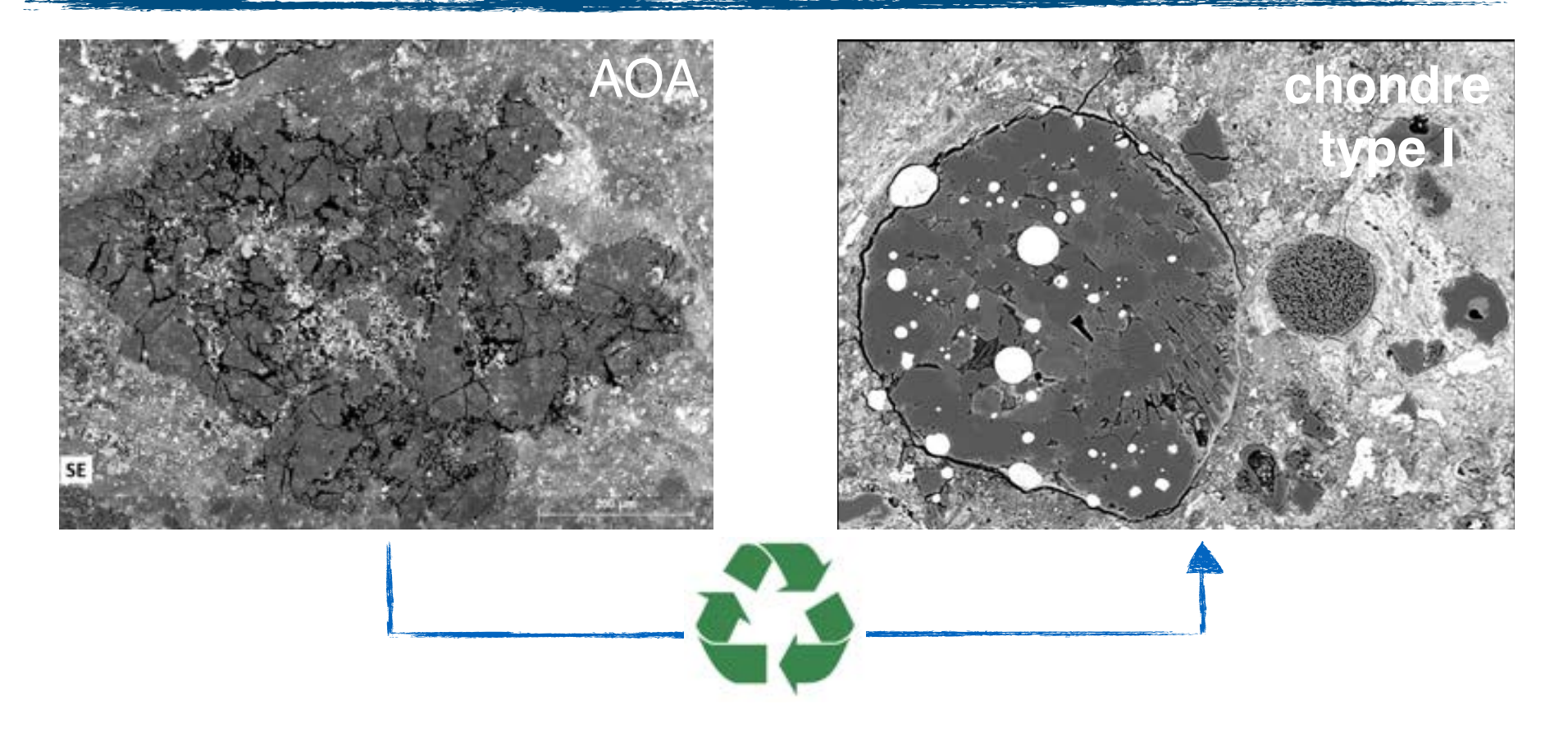
- \rightarrow olivines reliques sont pauvres en Ca-Al-Ti et ont des Δ^{17} O < -15 % (Marrocchi+ 2019)
 - → caractéristiques chimiques et isotopiques similaires à celles des olivines des AOAs (Weisberg+, 2004, Ebel+, 2012; Komatsu+ 2019)

caractéristiques chimiques des grains d'olivine reliques



- \rightarrow olivines reliques sont pauvres en Ca-Al-Ti et ont des Δ^{17} O < -15 % (Marrocchi+ 2019)
 - → caractéristiques chimiques et isotopiques similaires à celles des olivines des AOAs (Weisberg+, 2004, Ebel+, 2012; Komatsu+ 2019)
 - → olivines hôtes formées lors de l'épisode magmatique à l'origine des chondres tels qu'observés aujourd'hui

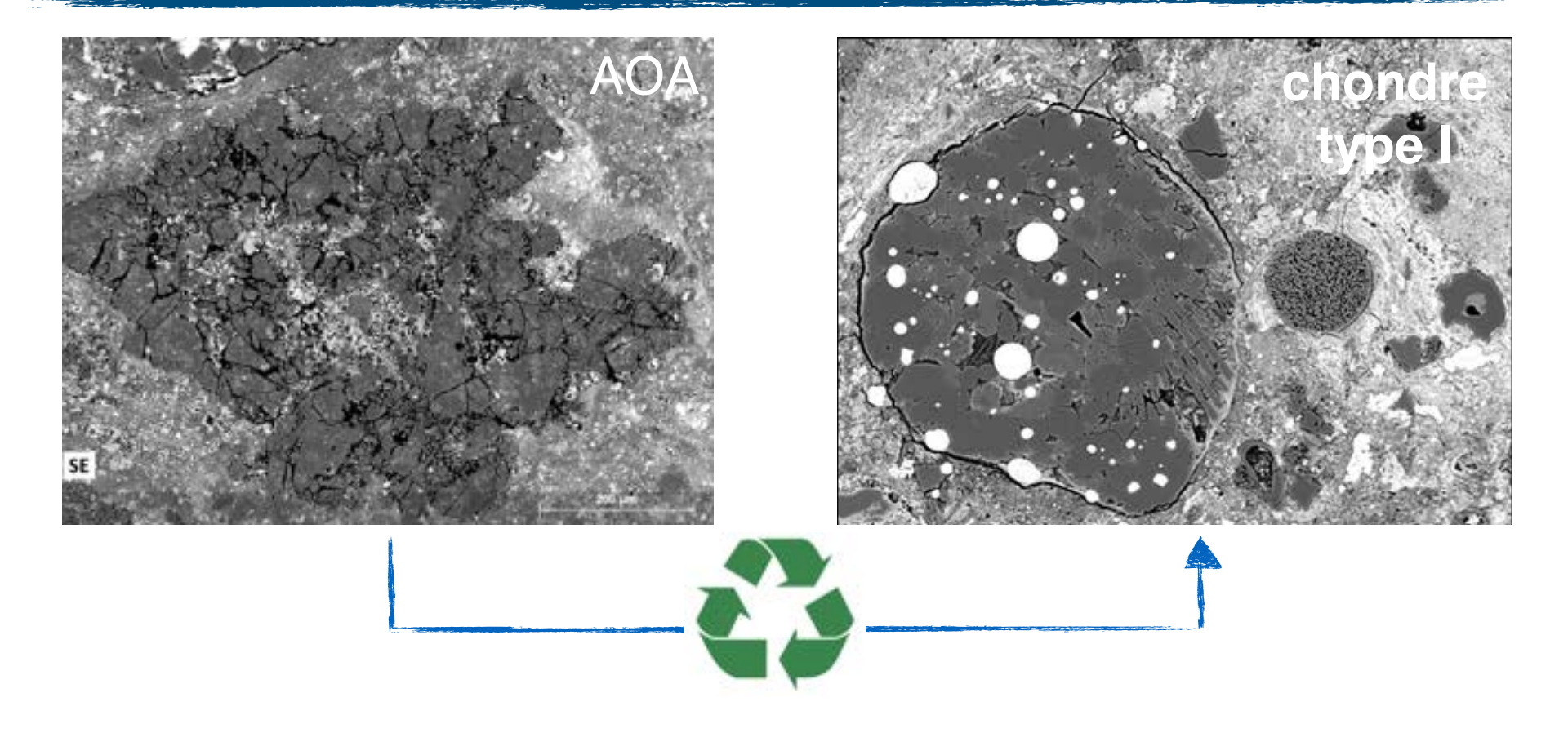
formation de chondrules de type I par recyclage d'AOAs



les chondres de type I sont des agents doubles

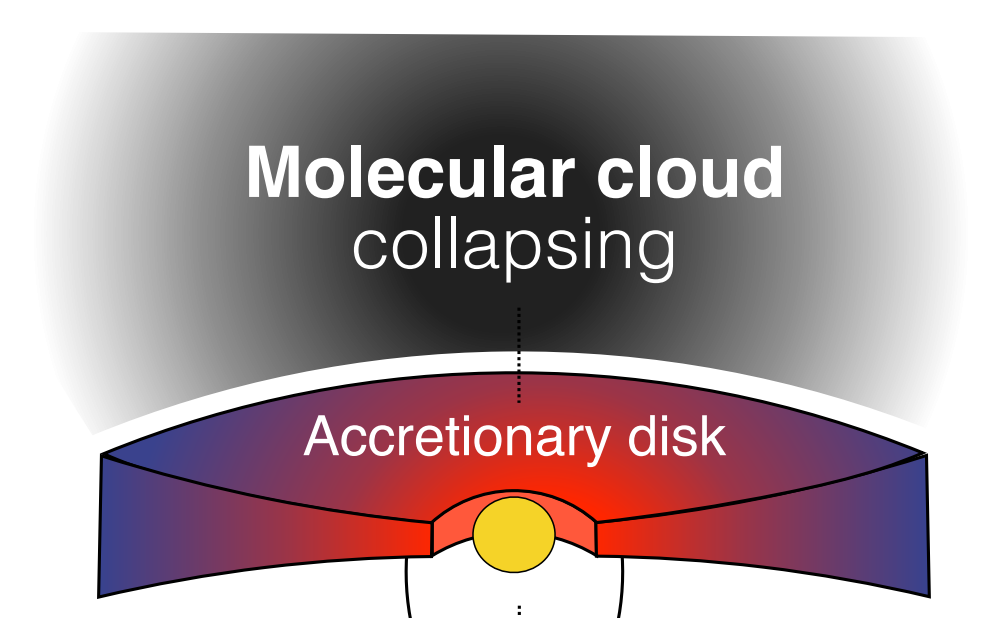
- → implique la fusion partielle des AOA plusieurs dizaines de milliers d'années après leur condensation
- → nécessite un processus efficace de chauffage nébulaire dans le disque externe pour atteindre des températures magmatiques (> 1200 K)

formation de chondrules de type I par recyclage d'AOAs

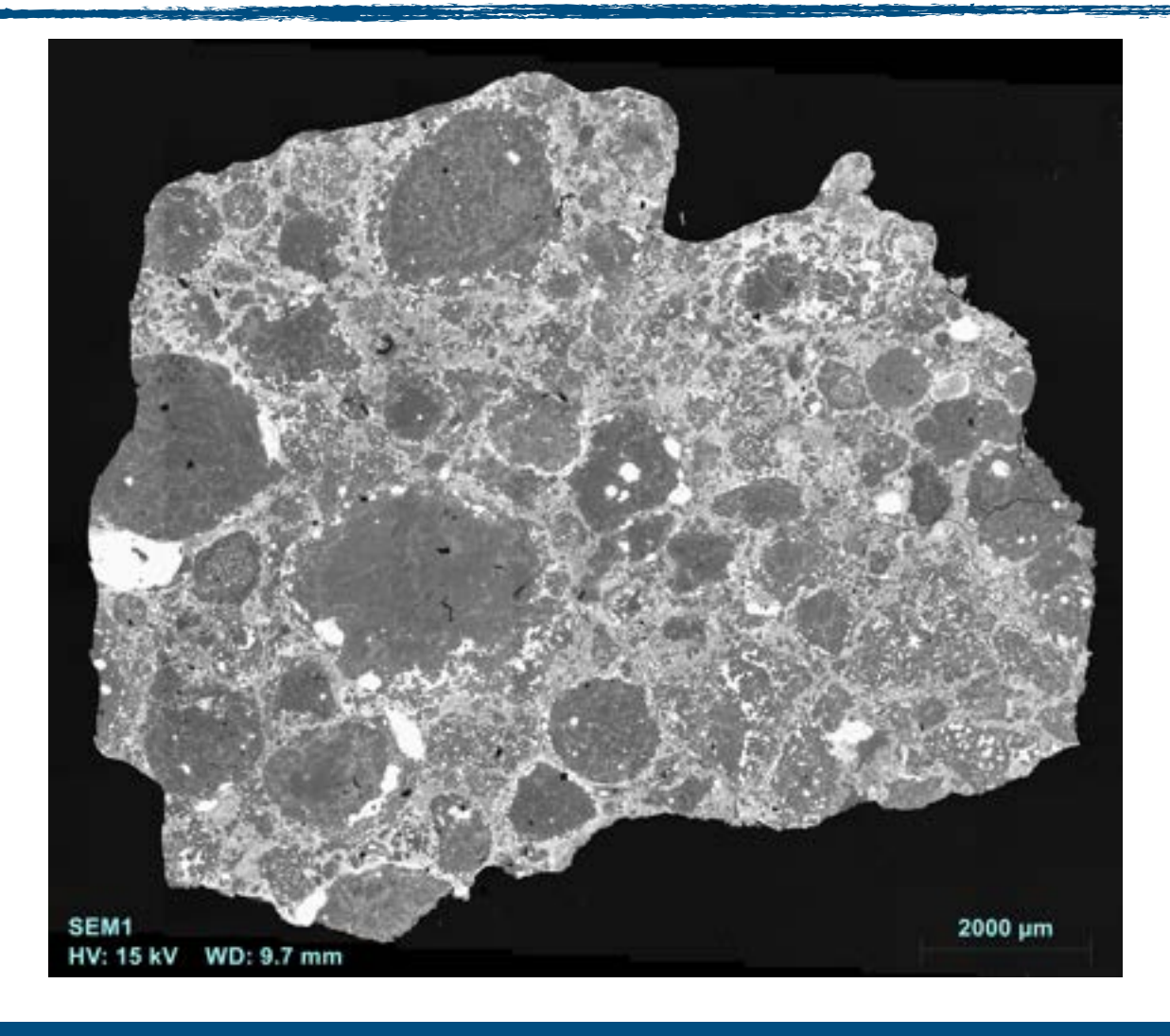


processus ayant largement affecté le disque externe

- → AOAs représentent les condensats les plus abondants (Krot+ 2004)
- ightharpoonup textures et $m \Delta^{17}O$ similaires dans la plupart des chondrites carbonées (CM-CO-CV chondrites = $m \sim 90\%$ des CCs)

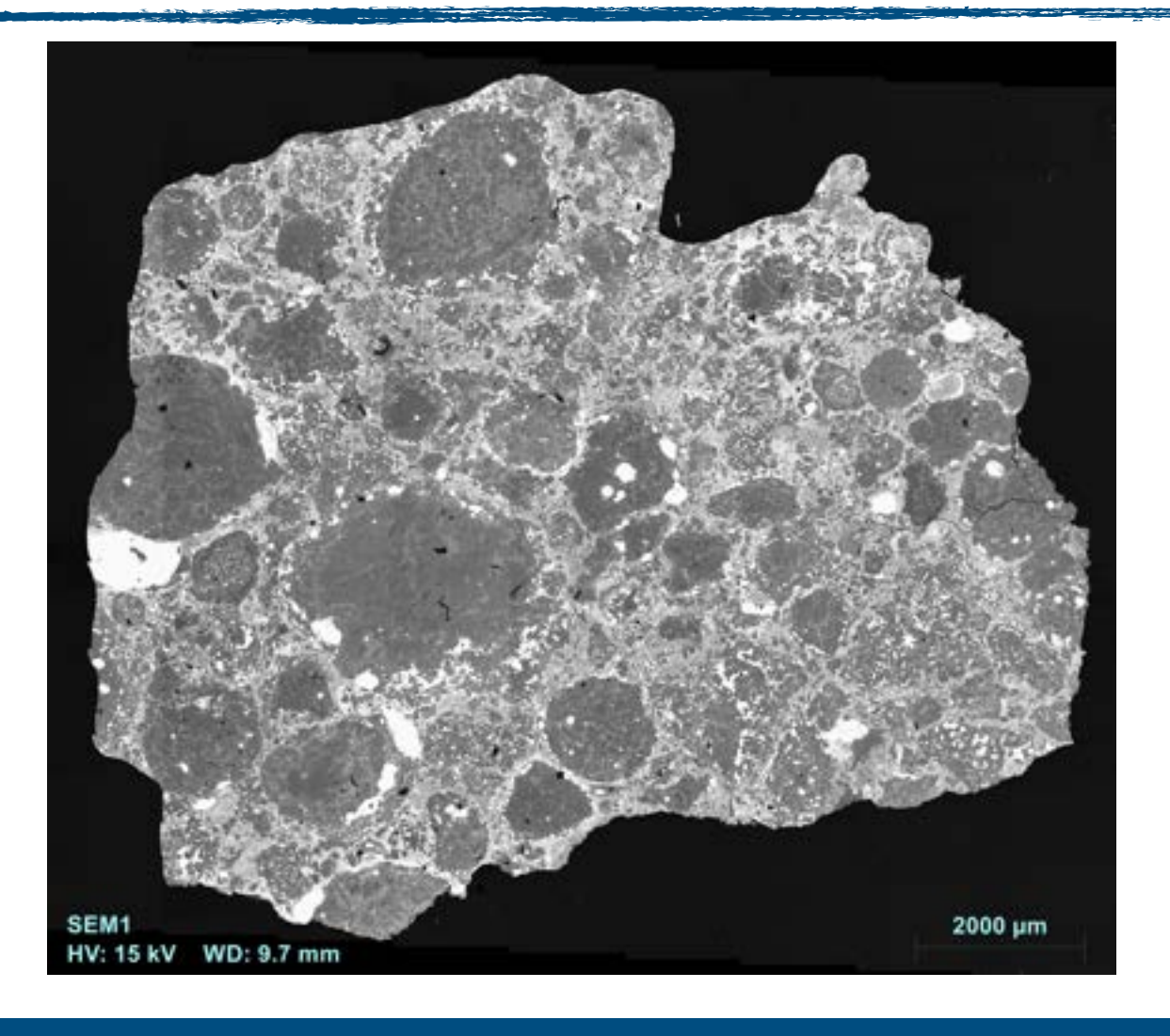


y-a-t-il eu des épisodes de recyclage multiple dans le disque ?



quels chondres analyseriez-vous dans cette chondrite CR?

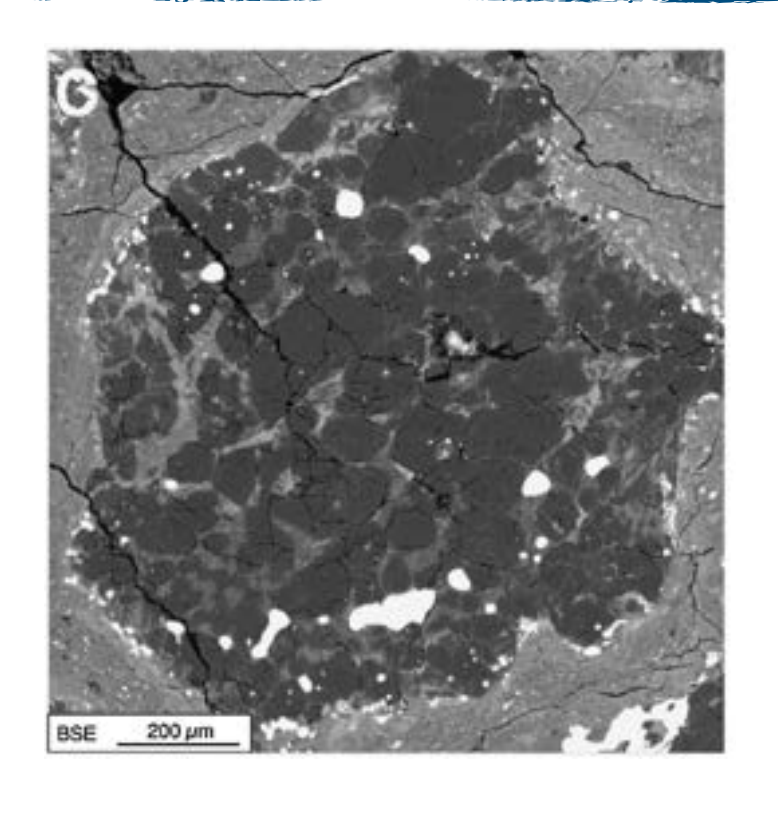
y-a-t-il eu des épisodes de recyclage multiple dans le disque ?

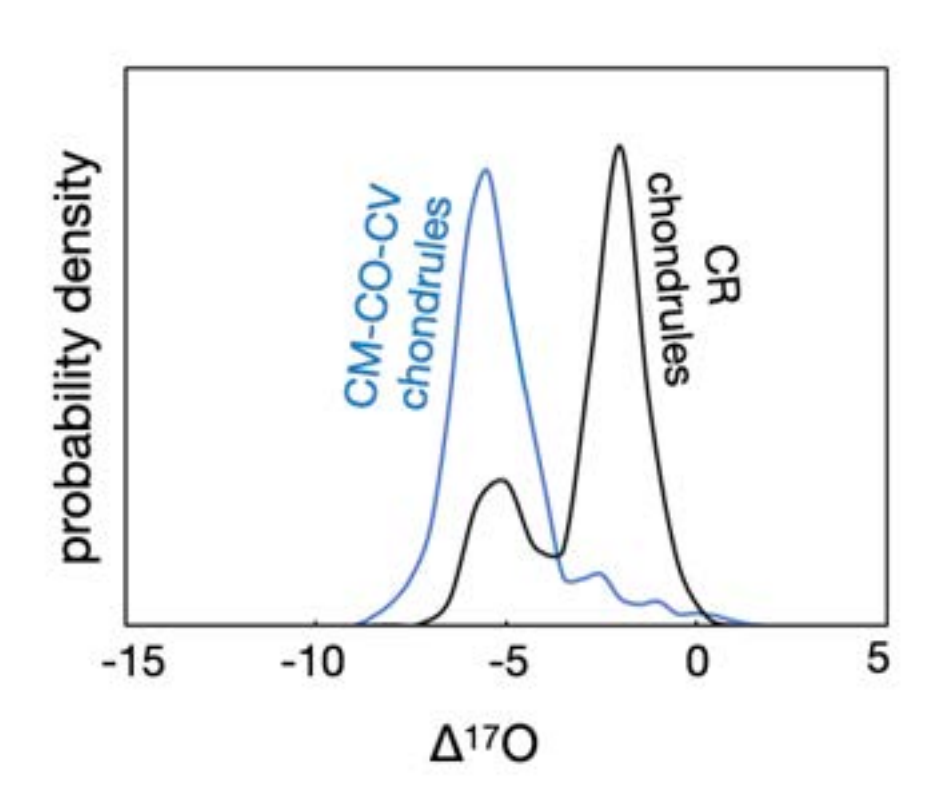


quels chondres analyseriez-vous dans cette chondrite CR?

sans doute les plus gros (comme tout le monde)

information intéressante mais parcellaire

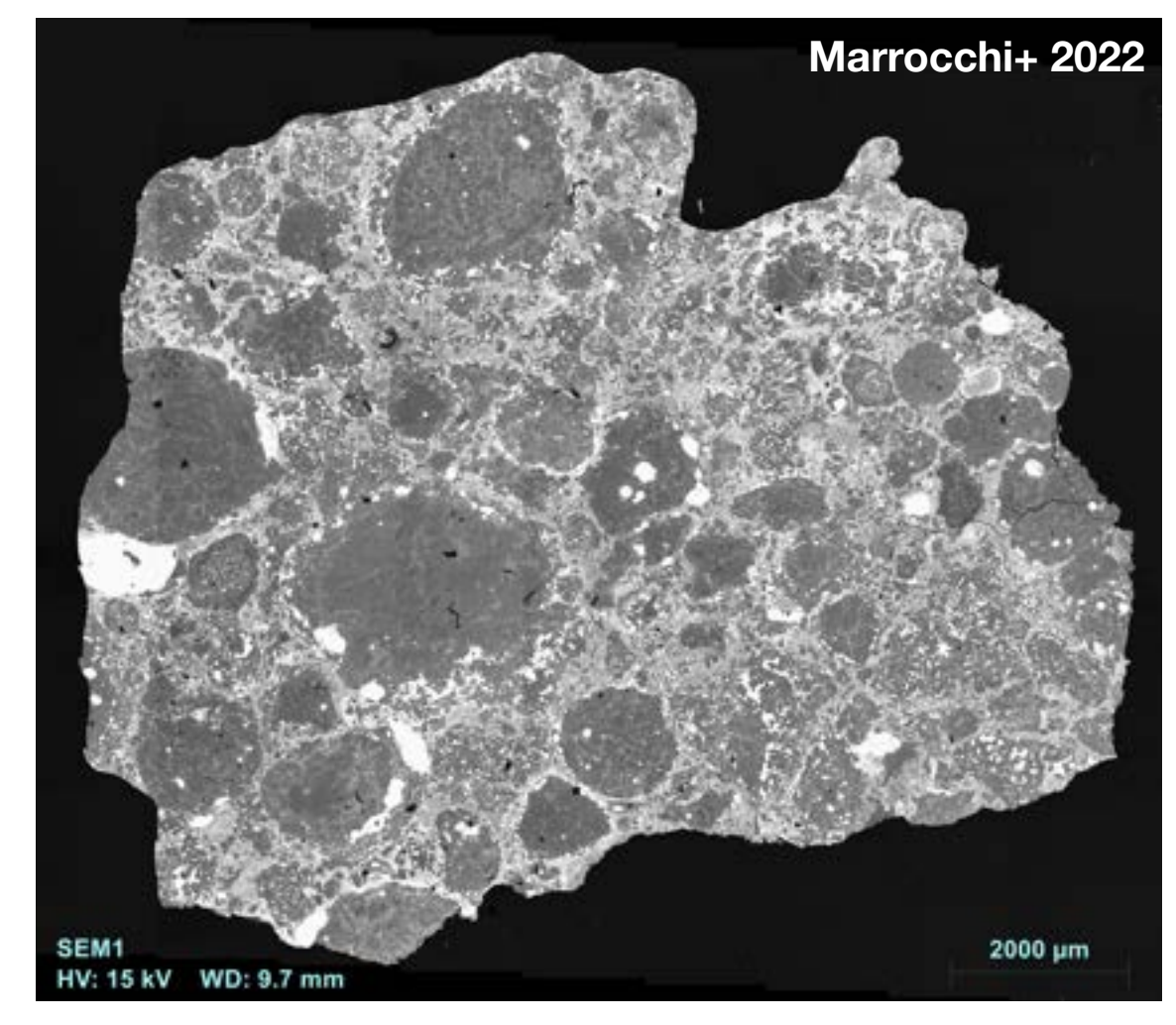




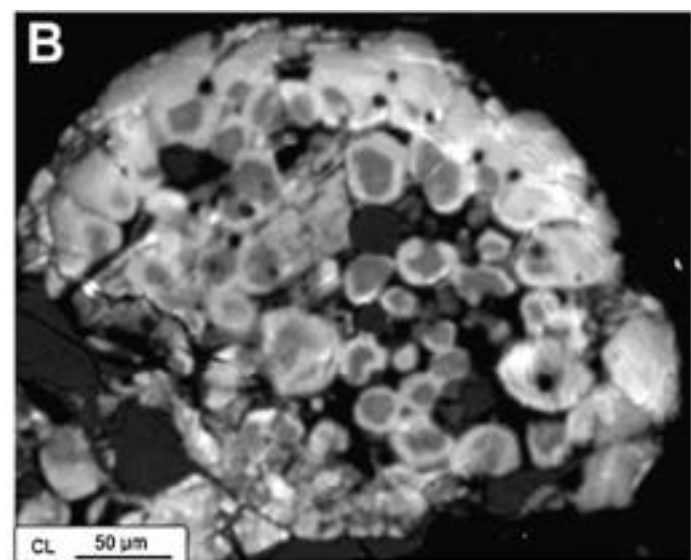
→ chondres très larges de CRs ont des Δ¹7O différents des autres CCs (Marrocchi+ 2024a)

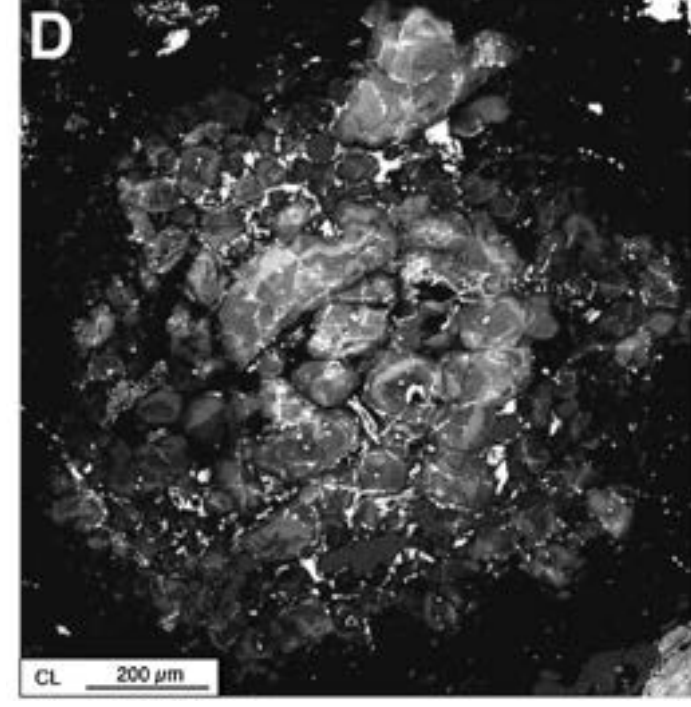
précurseurs et conditions de formation différentes?

importance des petits chondres dans les chondrites CR

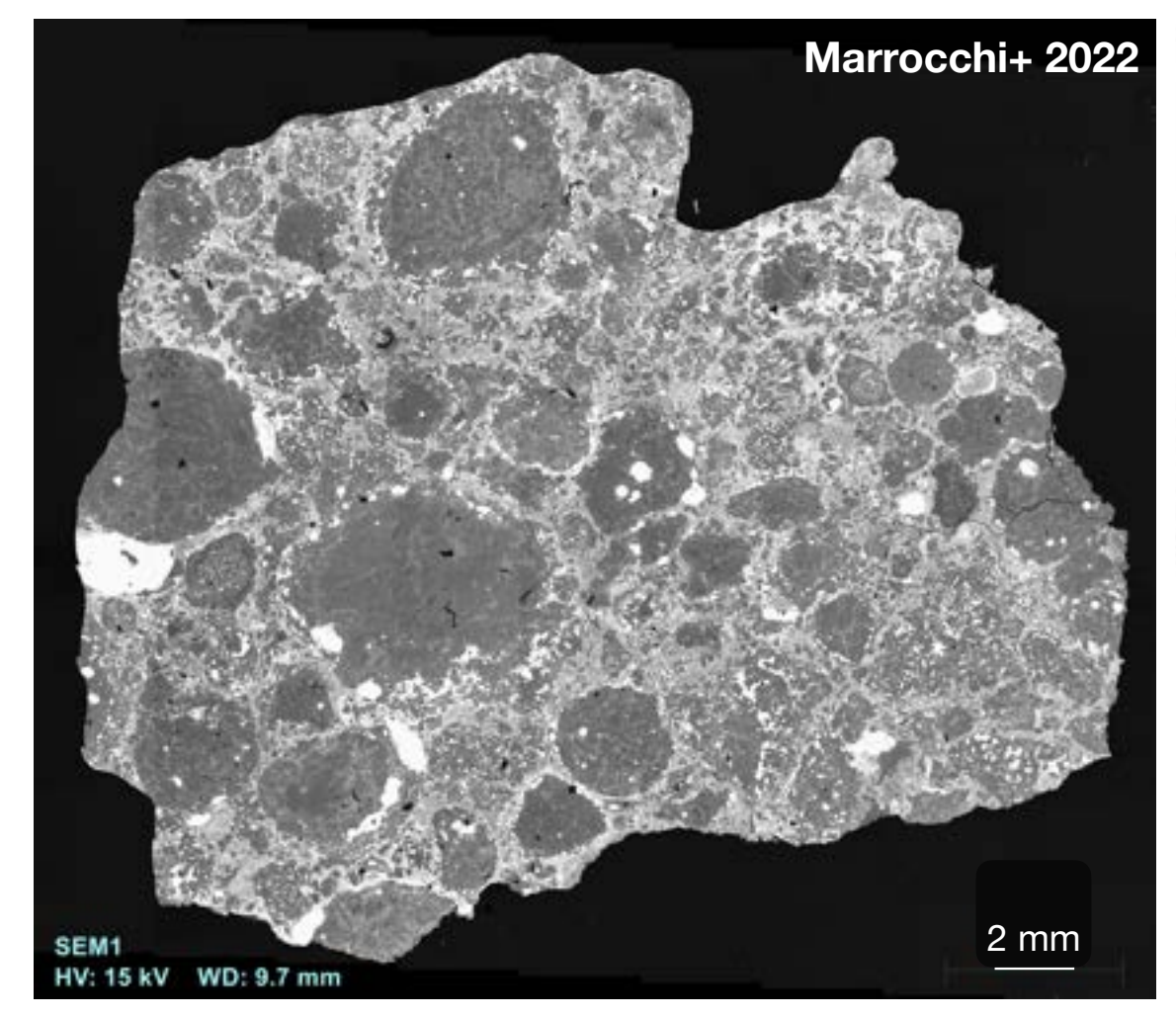


- → les petits chondres ont une texture similaire à celle des autres chondres CC (Libourel & Portail, 2018)
- → chondres plus larges ont des textures plus complexes

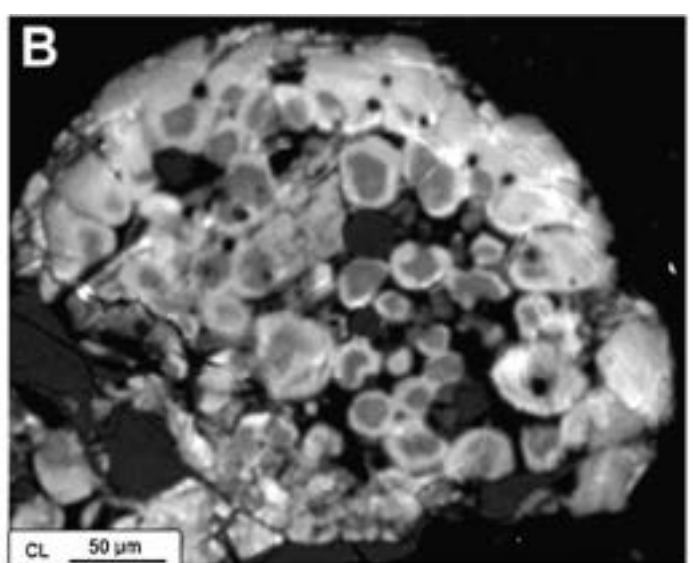


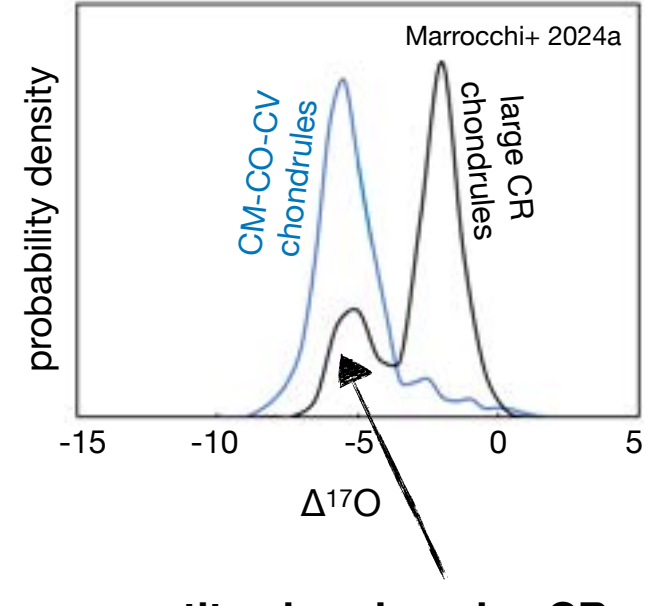


chondres de différentes tailles

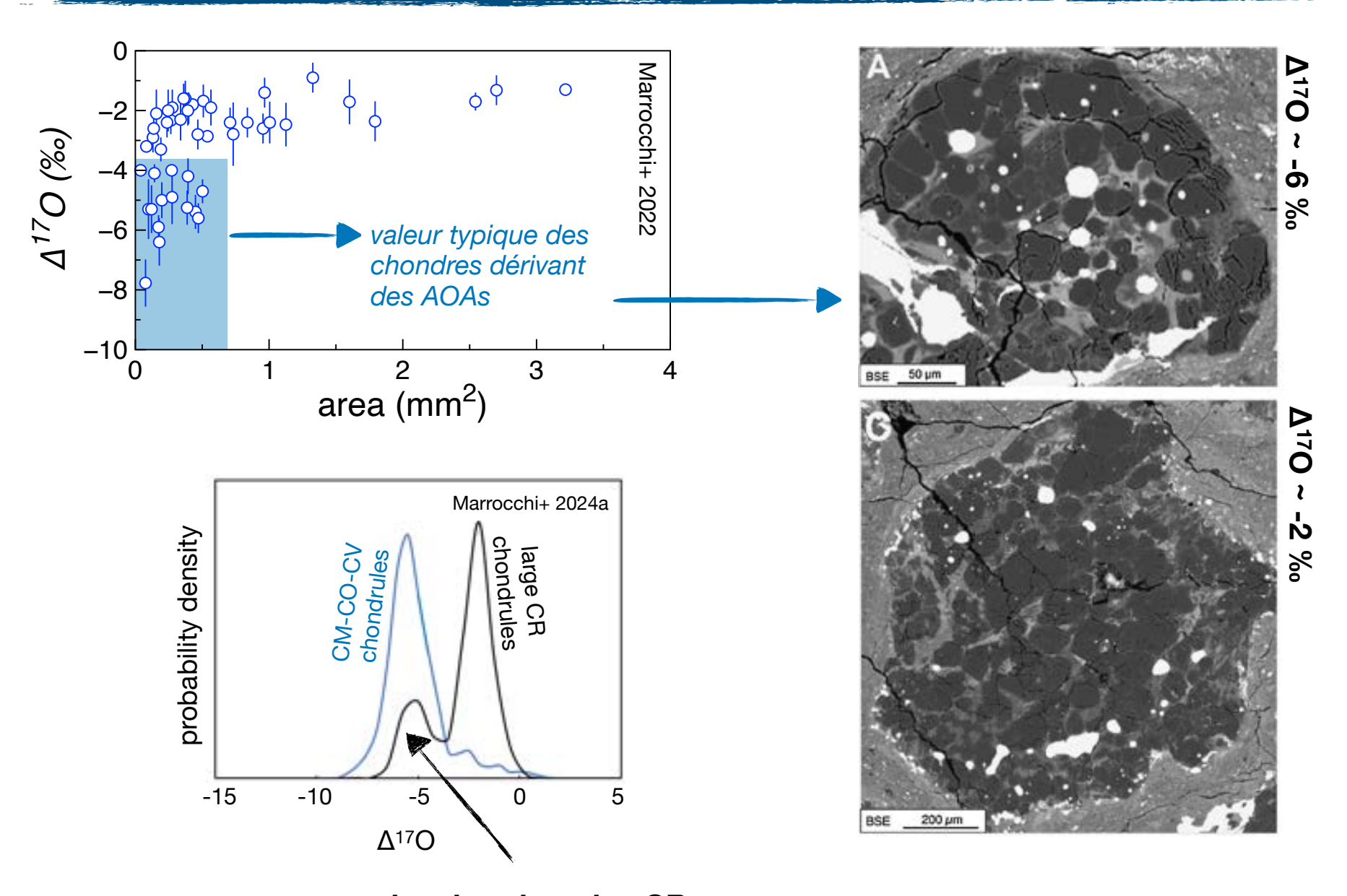


- → les petits chondres ont une texture similaire à celle des autres chondres CC (Libourel & Portail, 2018)
 - → Δ¹7O similaires aux autres CC également

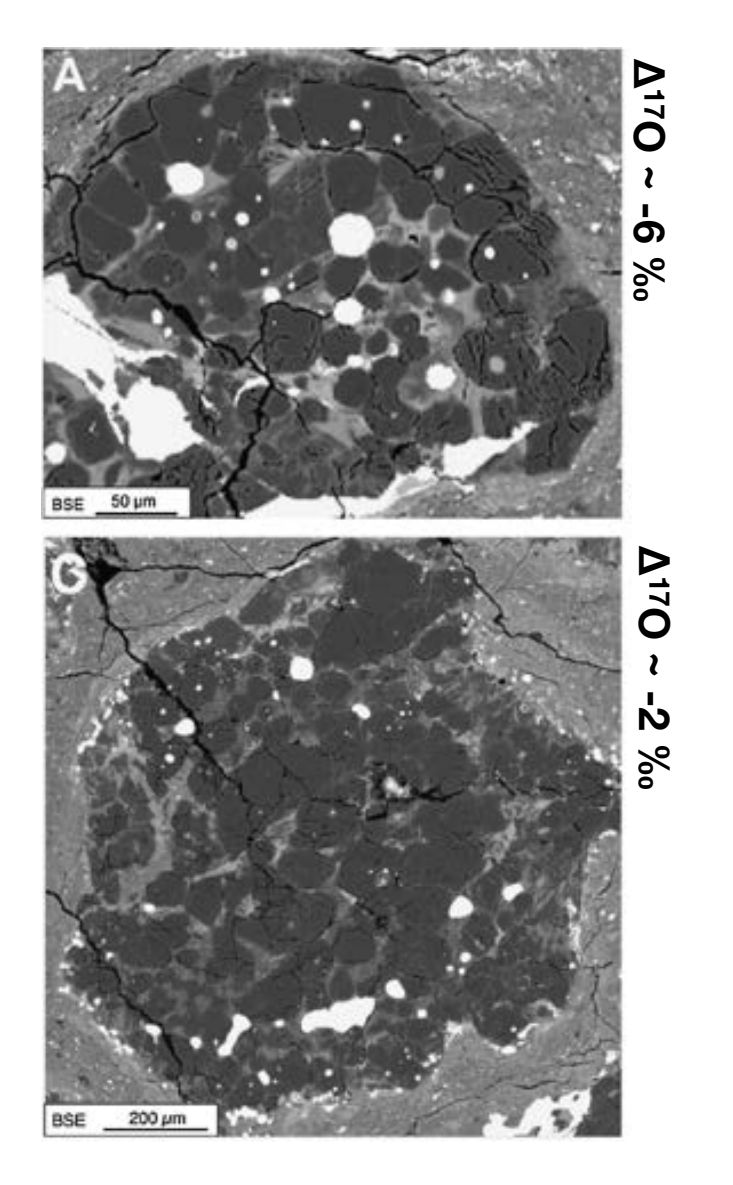




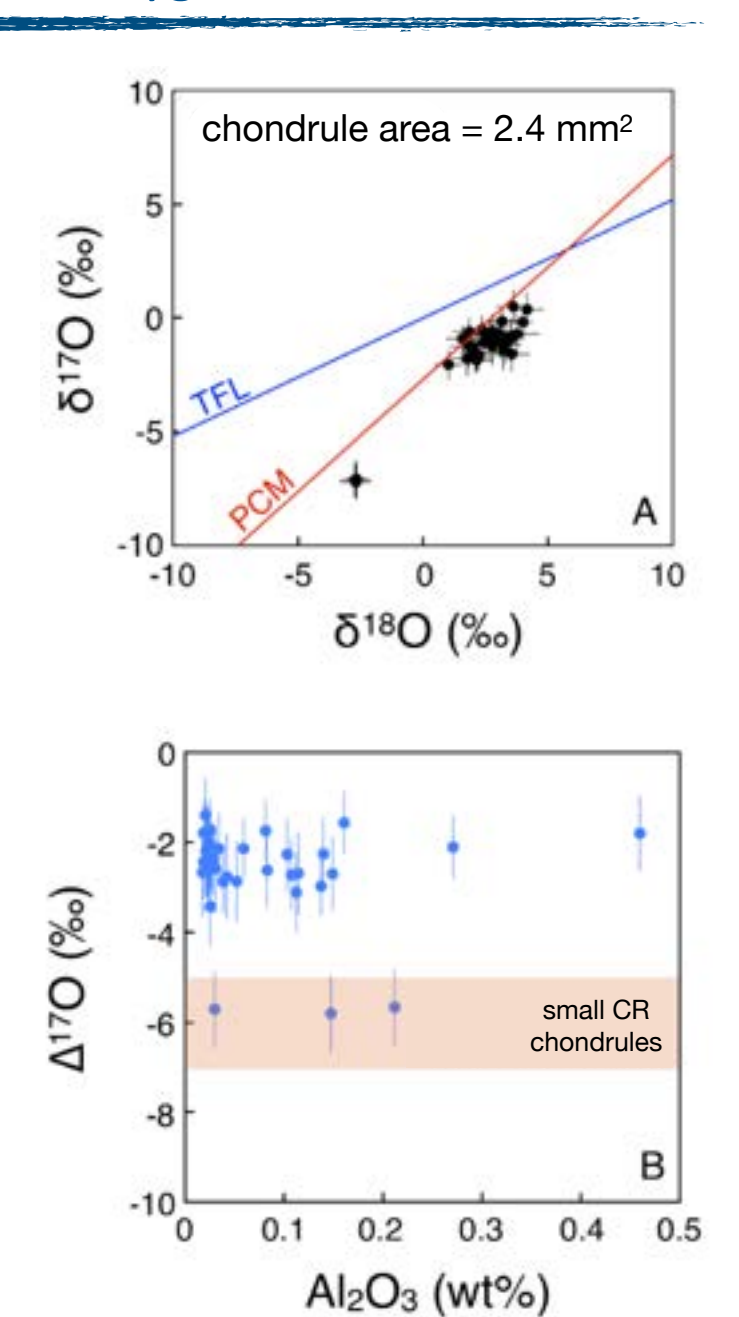
petits chondres des CRs



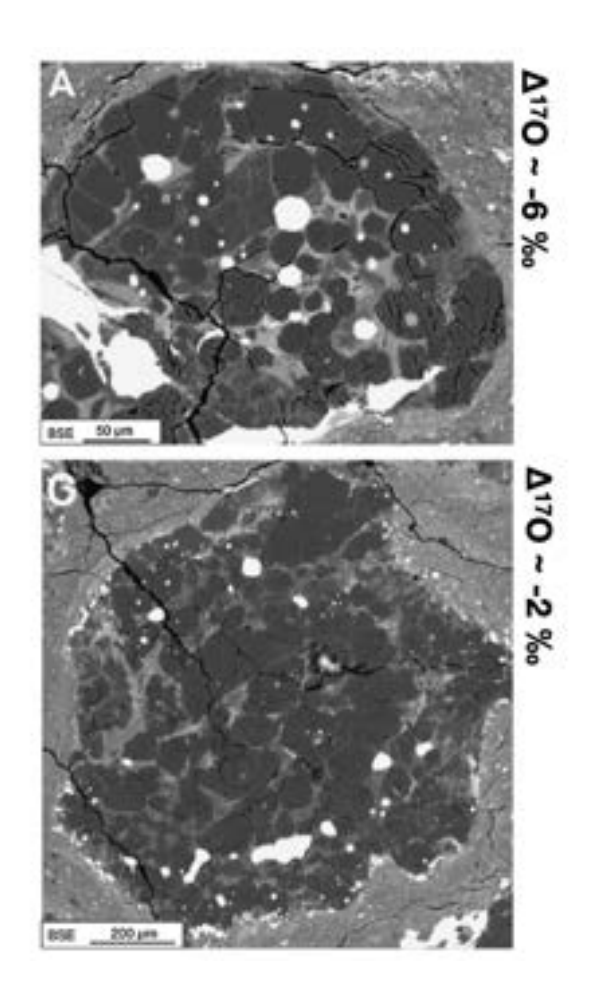
petits chondres des CRs



ightharpoonup olivine reliques dans les gros chondres ont des Δ^{17} O similaires aux olivines de petits

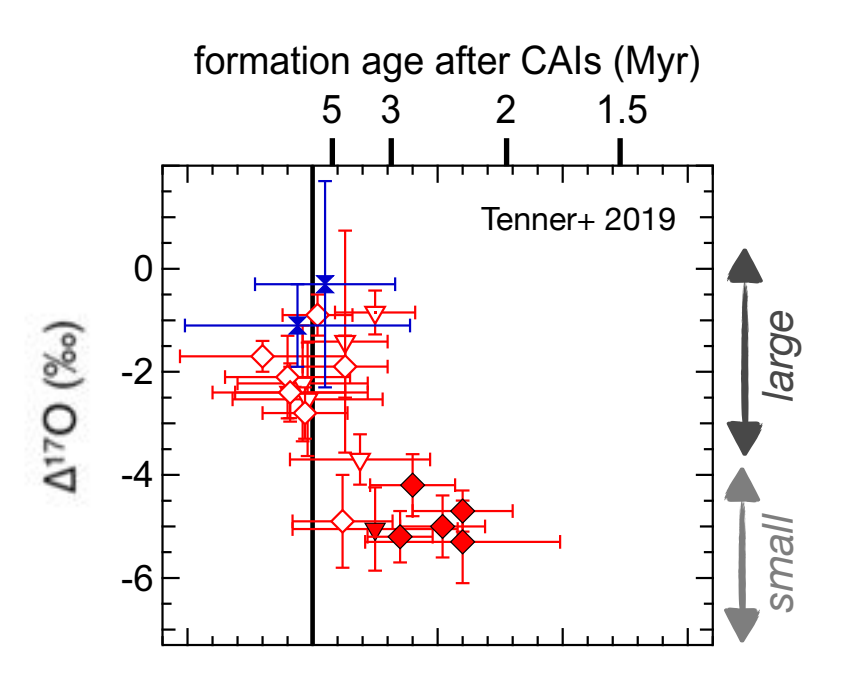


AOAs → chondres de type I = pas le seul épisode de recyclage



petits chondres gros chondres

petits chondres sont les précurseurs des chondres plus larges

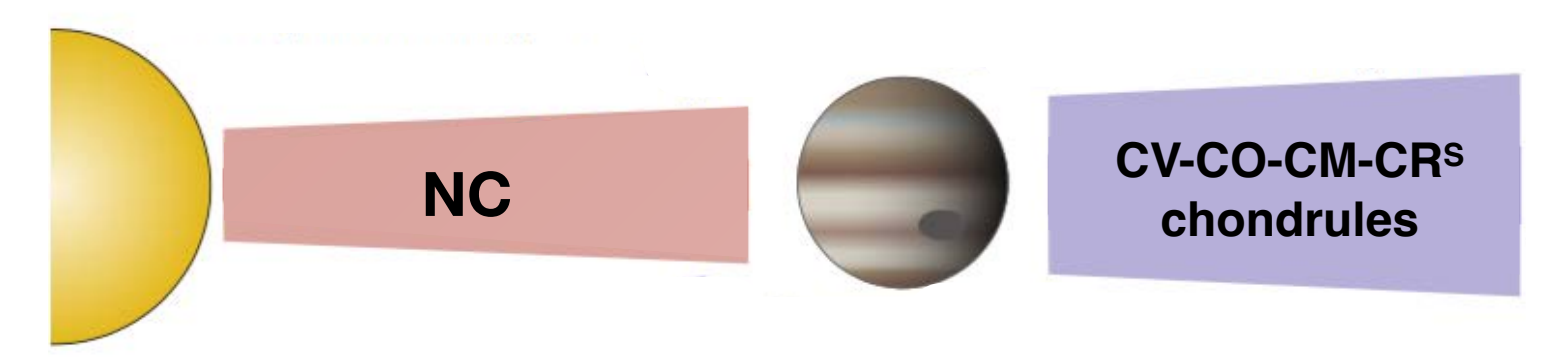


différence d'âge entre les chondres

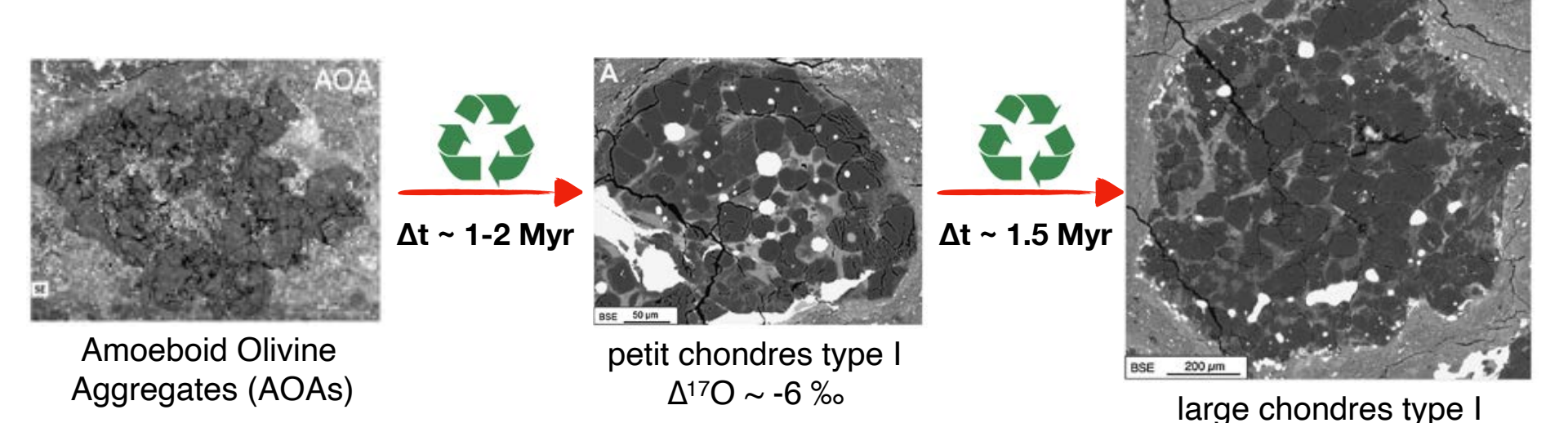
- → petits chondres ~ 2.5 My après CAIs
- → larges chondres ~ 4 My après CAIs

les petits chondres des chondrites CR ont des âges similaires à ceux des chondres des CCs

l'ensemble du disque externe était initialement peuplé de chondres similaires



la région CR a connu un épisode supplémentaire tardif de formation de chondres



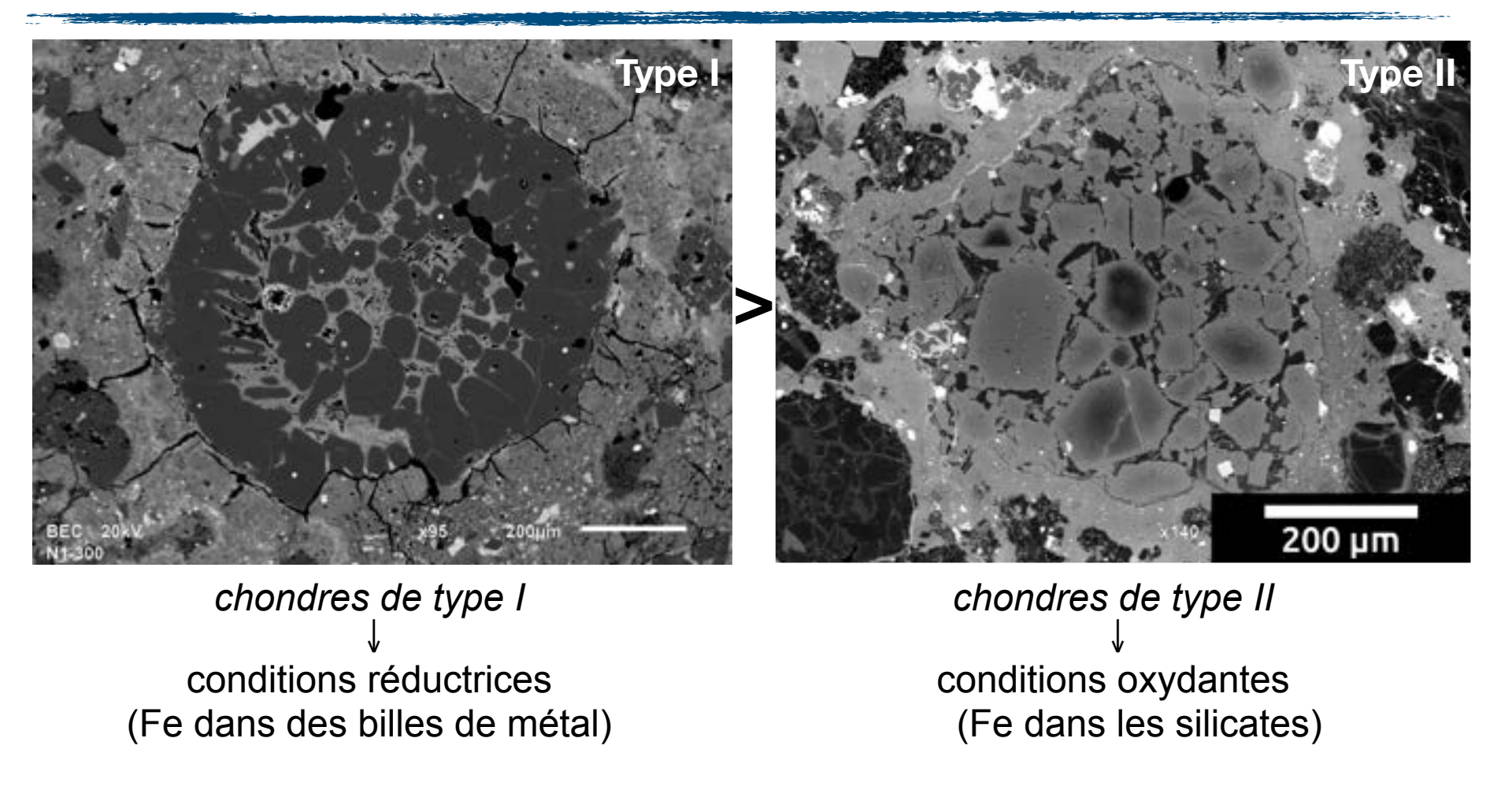
→ suggère un stockage à long terme de la poussière dans le réservoir externe du disque

 $\Delta^{17}O \sim -2 \%$

→ cette poussière n'est pas stockée dans des corps de plusieurs centaines de km (planétésimaux) = fusion et homogénéisation

stockage dans le disque = problème astrophysique fondamental

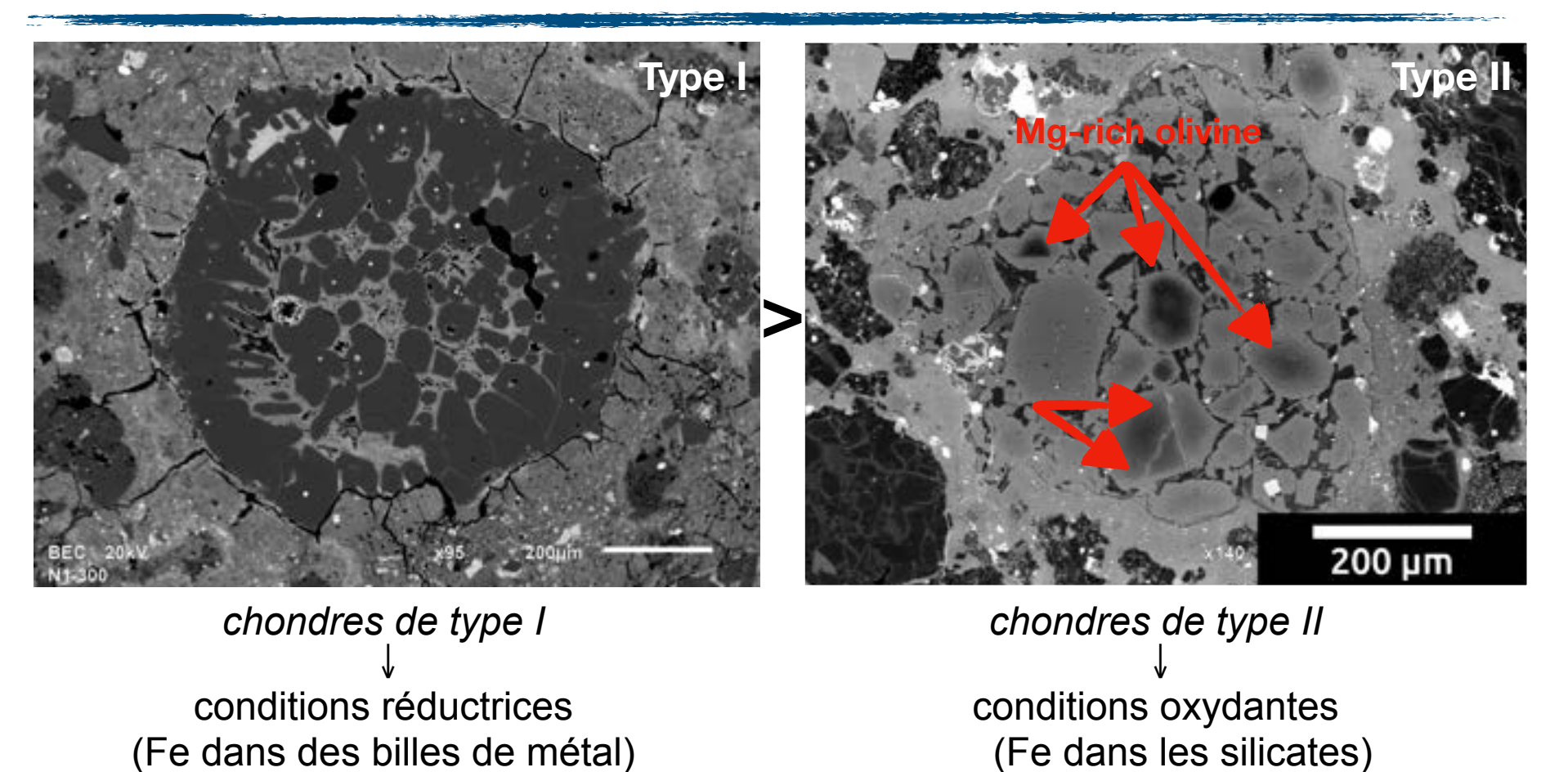
quid des chondres de type II?



1- formés dans deux réservoirs différents (Connolly et al., 1994, Tenner+ 2015, 2018)

2- type II dérivent des type I (Villeneuve+ 2015, 2020)

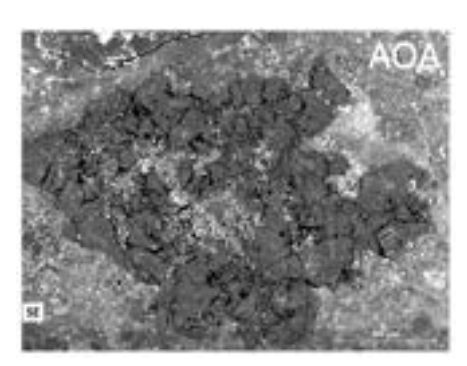
comment tester le lien génétique potentiel?



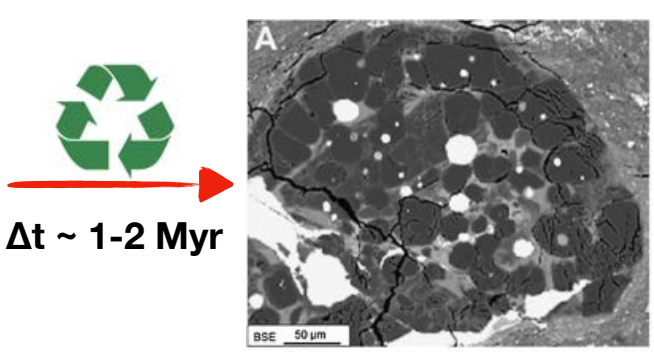
type II dérivent des chondres de type I

→ présence dans les type II d'olivine riches en Mg similaires à celle observées dans les type I

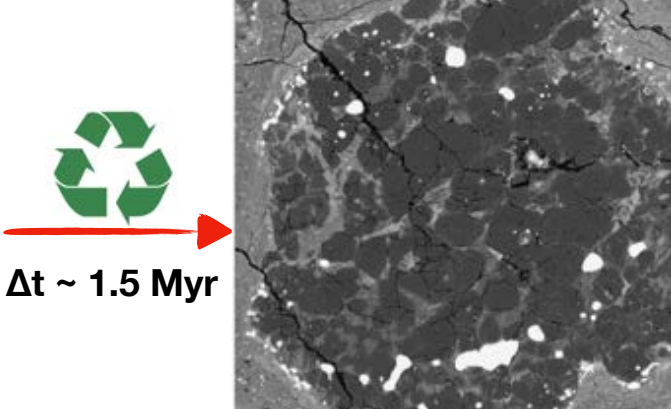
compositions isotopiques en oxygène



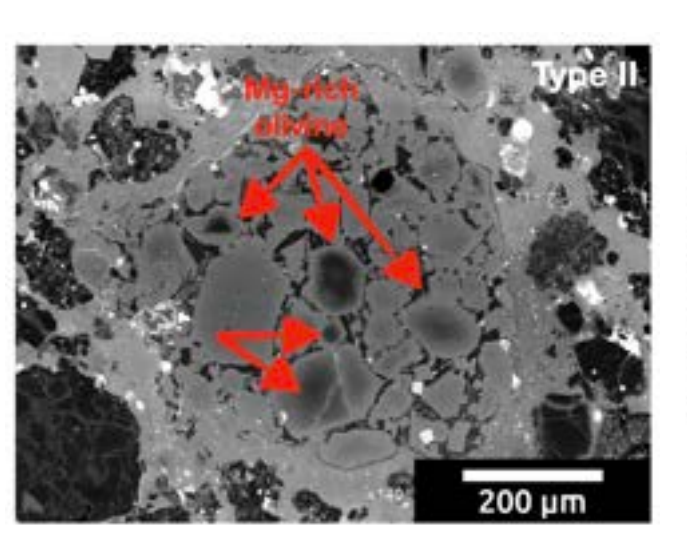
Amoeboid Olivine Aggregates (AOAs)

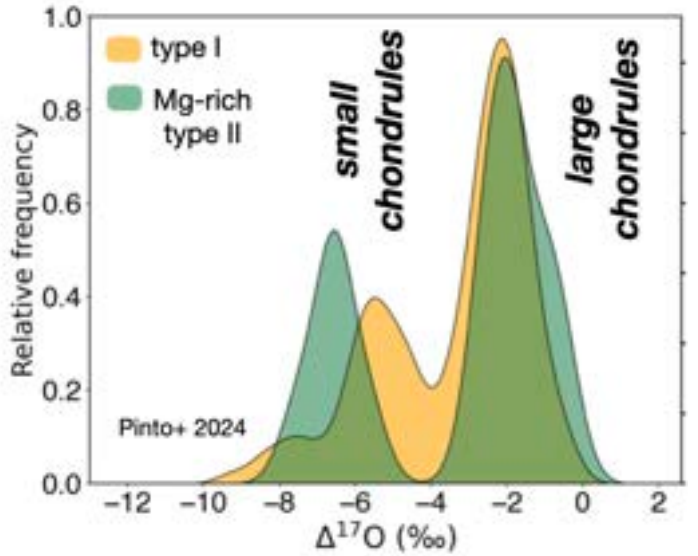


petit chondres type I $\Delta^{17}O \sim -6 \%$



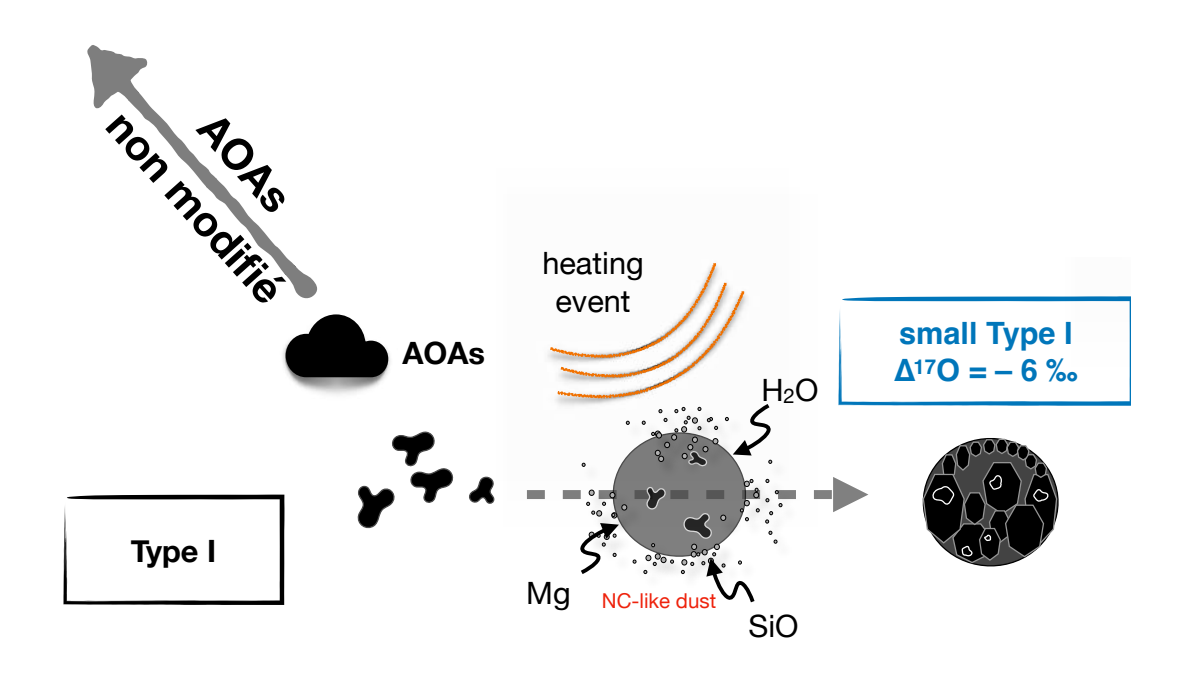
large chondres type I $\Delta^{17}O \sim -2 \%$



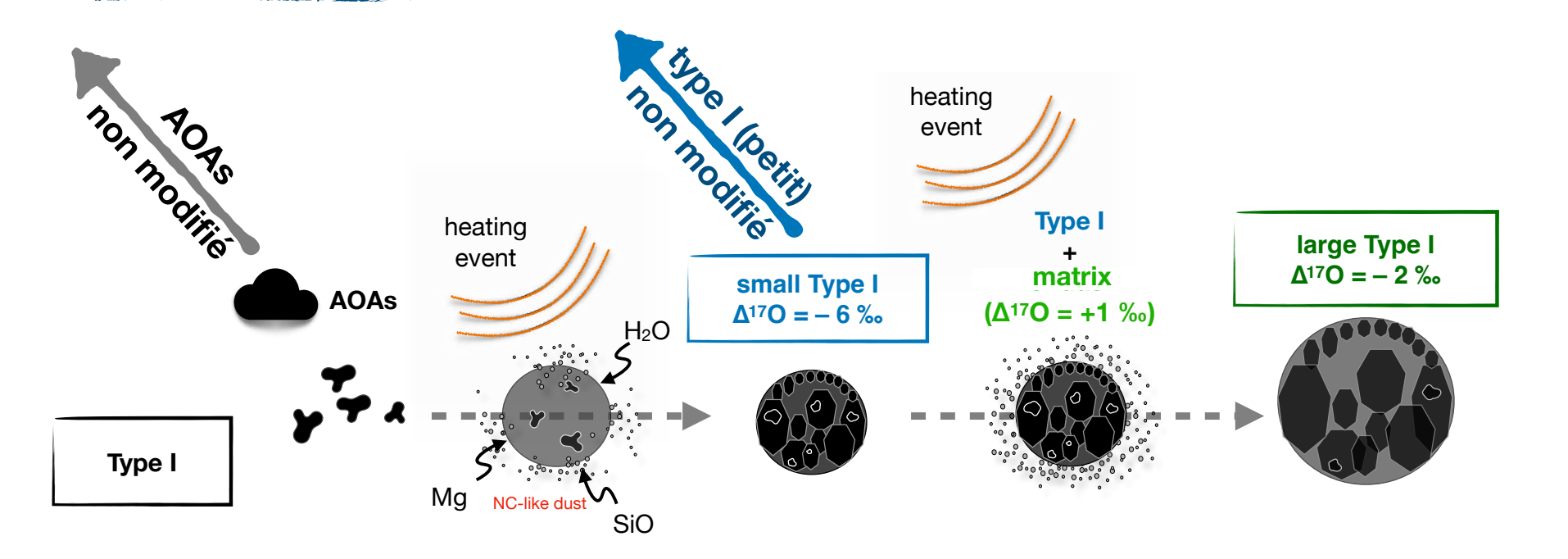


olivines riches en Mg des chondres de type II proviennent des deux types de chondres de type I (petits et gros)

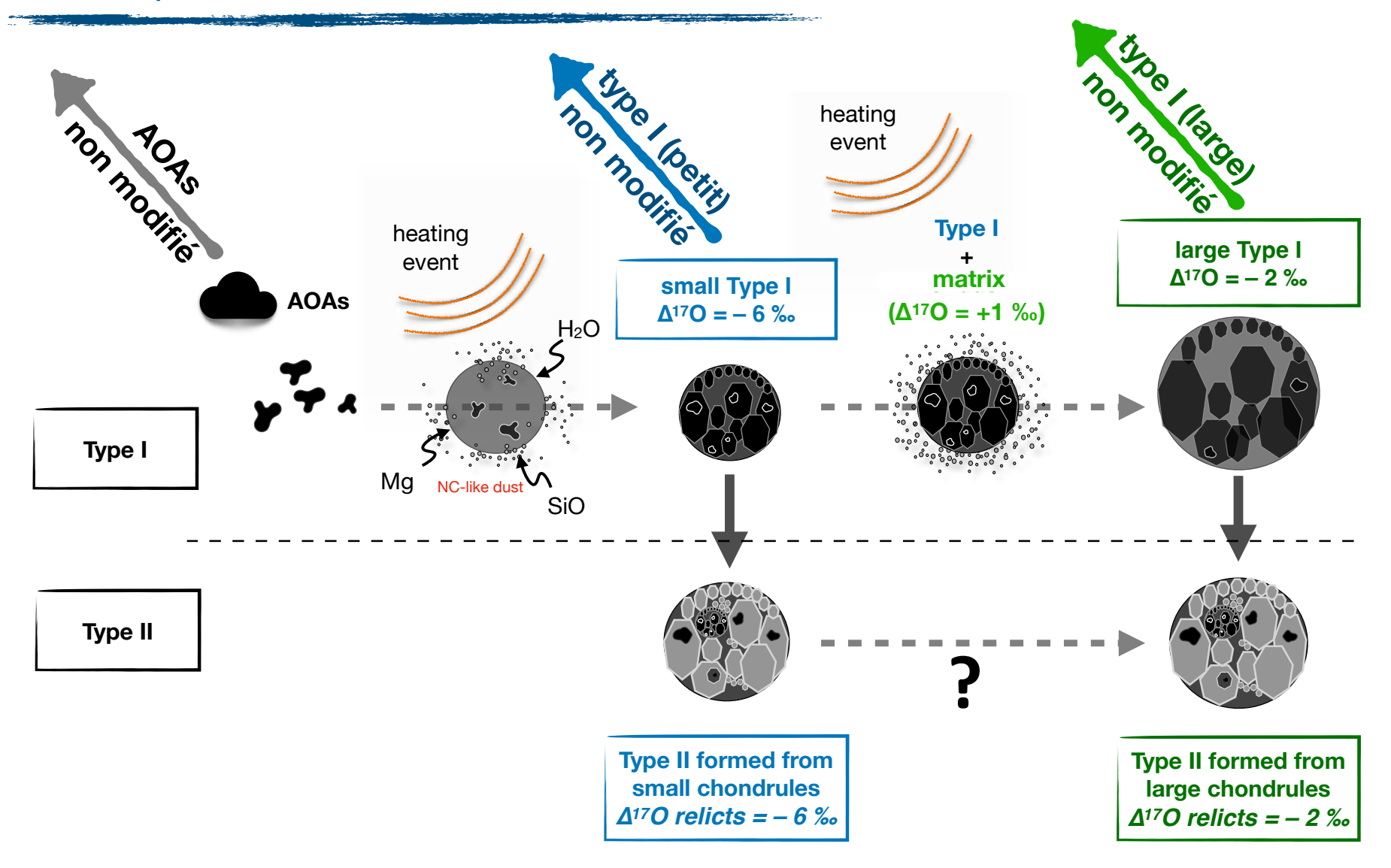
time-lapse de la formation des chondres CC



time-lapse de la formation des chondres CC

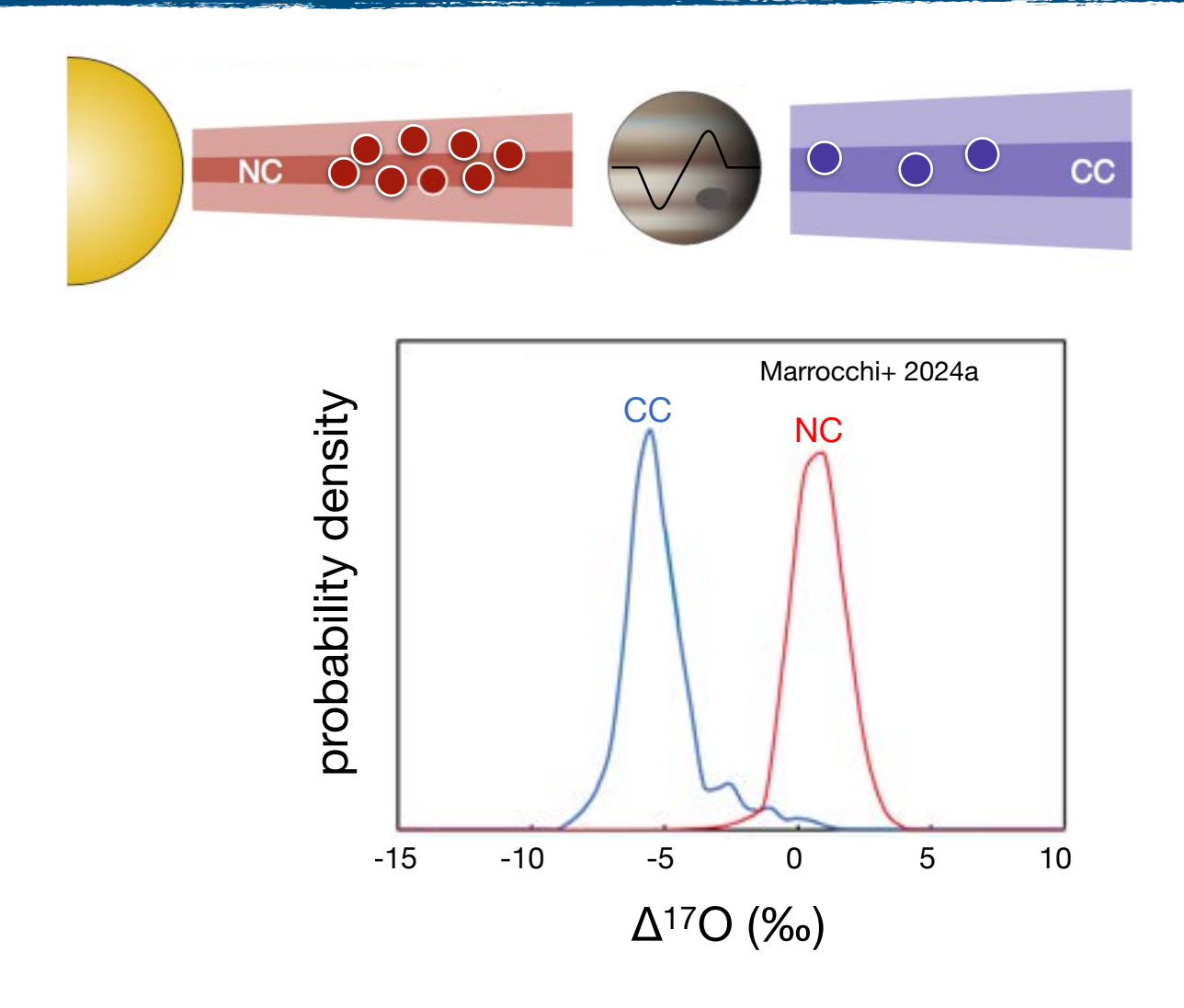


time-lapse de la formation des chondres CC

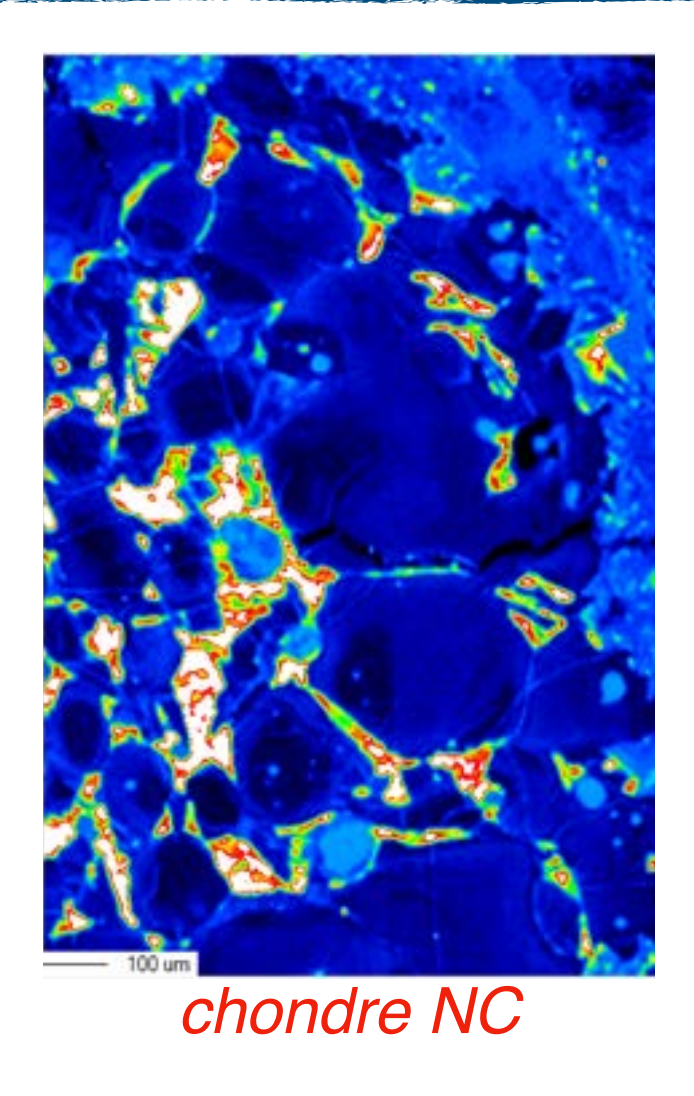


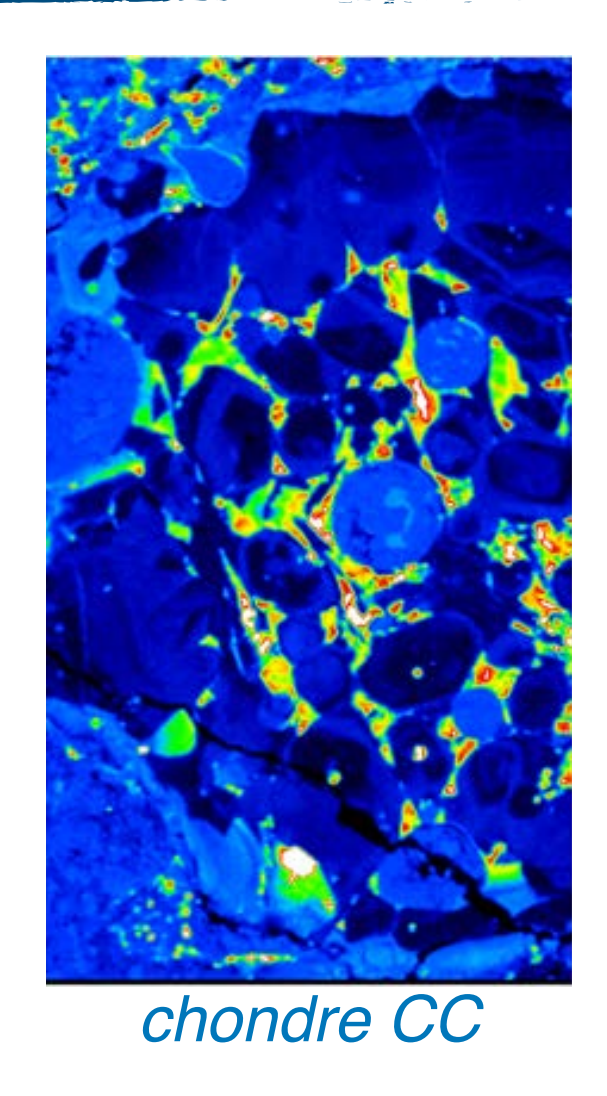
- → tous ces objets génétiquement apparentés sont observés au sein d'une seule chondrite
 - → implique des processus de chauffage extrêmement localisés

qu'en est-il du disque interne échantillonné par les chondrites NC?



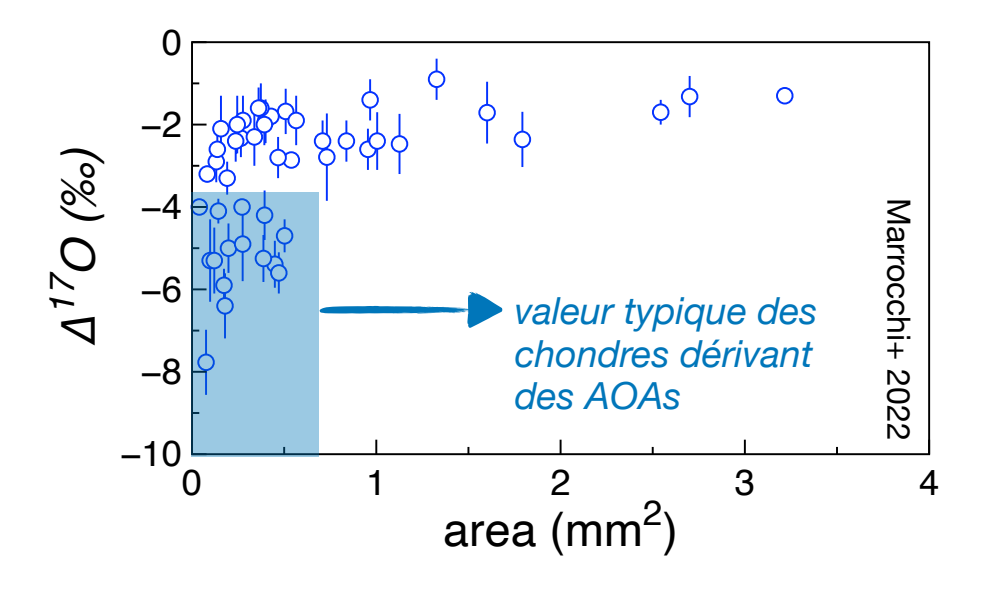
- → chondres NC and CC ont des compositions isotopiques différentes
- → impliquent différents précurseurs et différentes histoires de formation





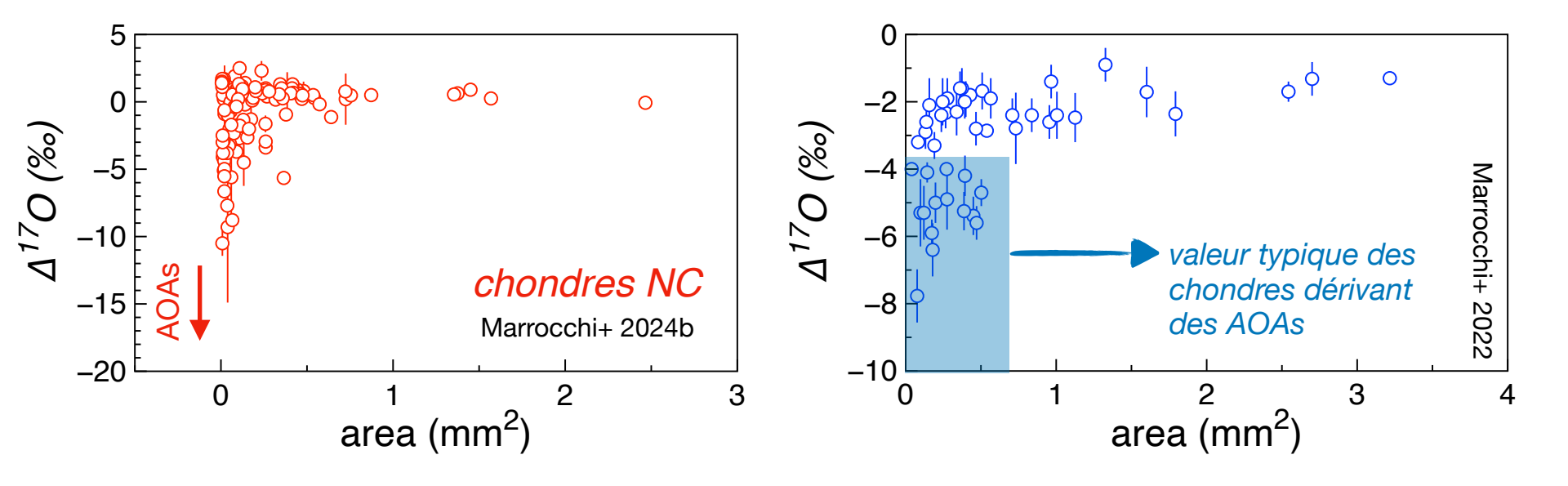
- → textures similaires dans les chondres NC et CC = processus de recyclage
 - → processus omniprésents dans les zones interne et externe du disque

effet de la taille sur la composition isotopique en oxygène

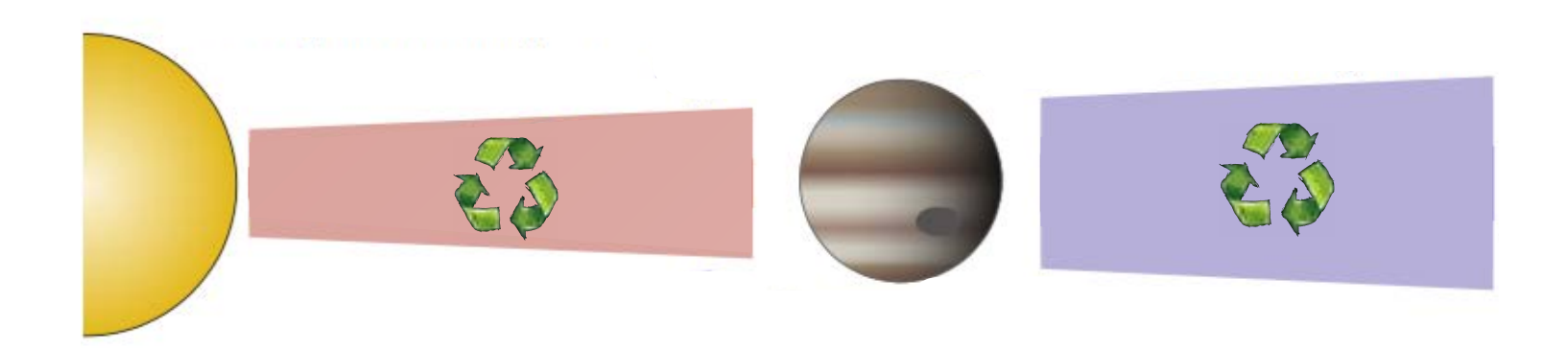


→ processus de recyclage **AOAs-chondre-chondre** dans le réservoir **CC**

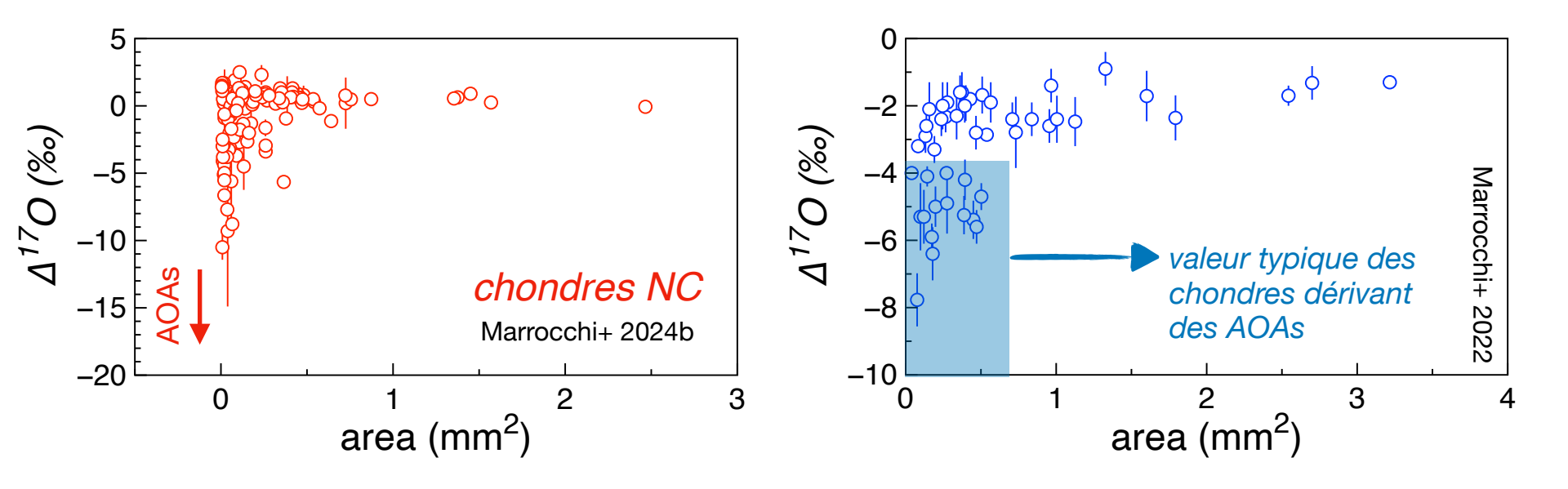
similitude entre les chondres NC et CC



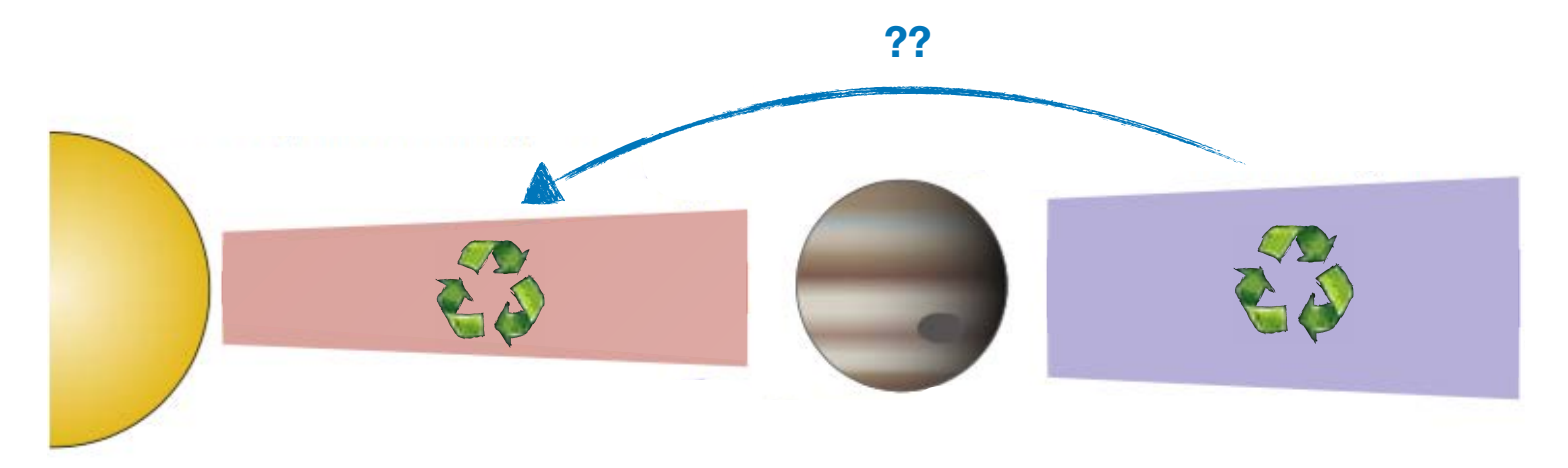
→ processus de recyclage **AOAs-chondre-chondre** dans tout disque ?



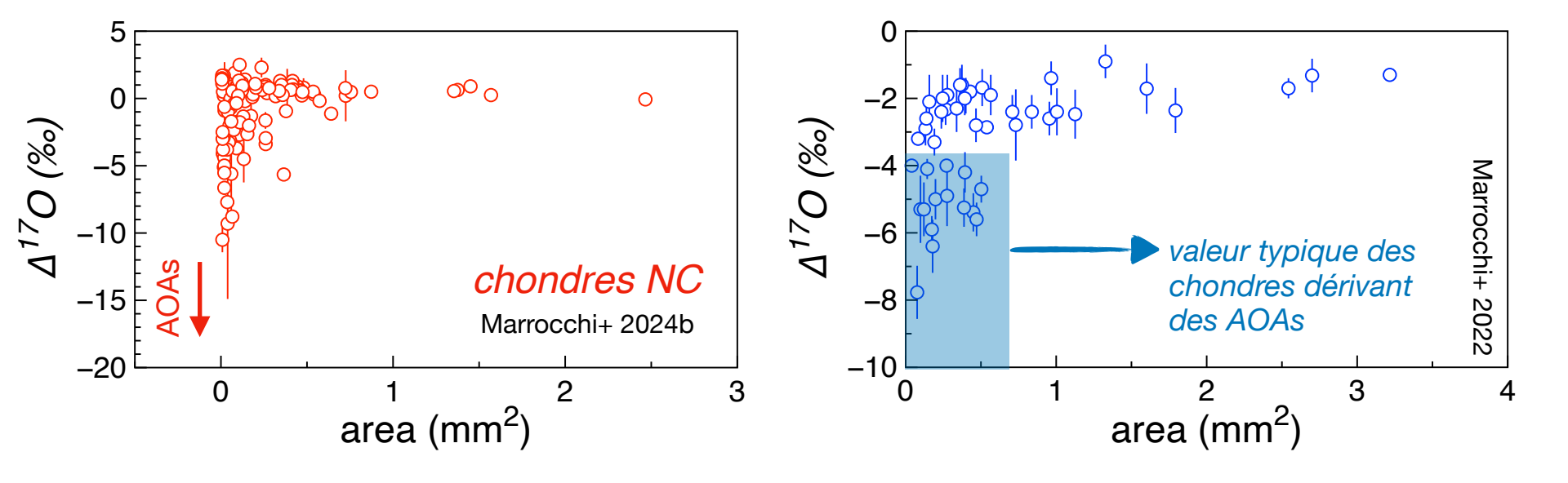
similitude entre les chondres NC et CC



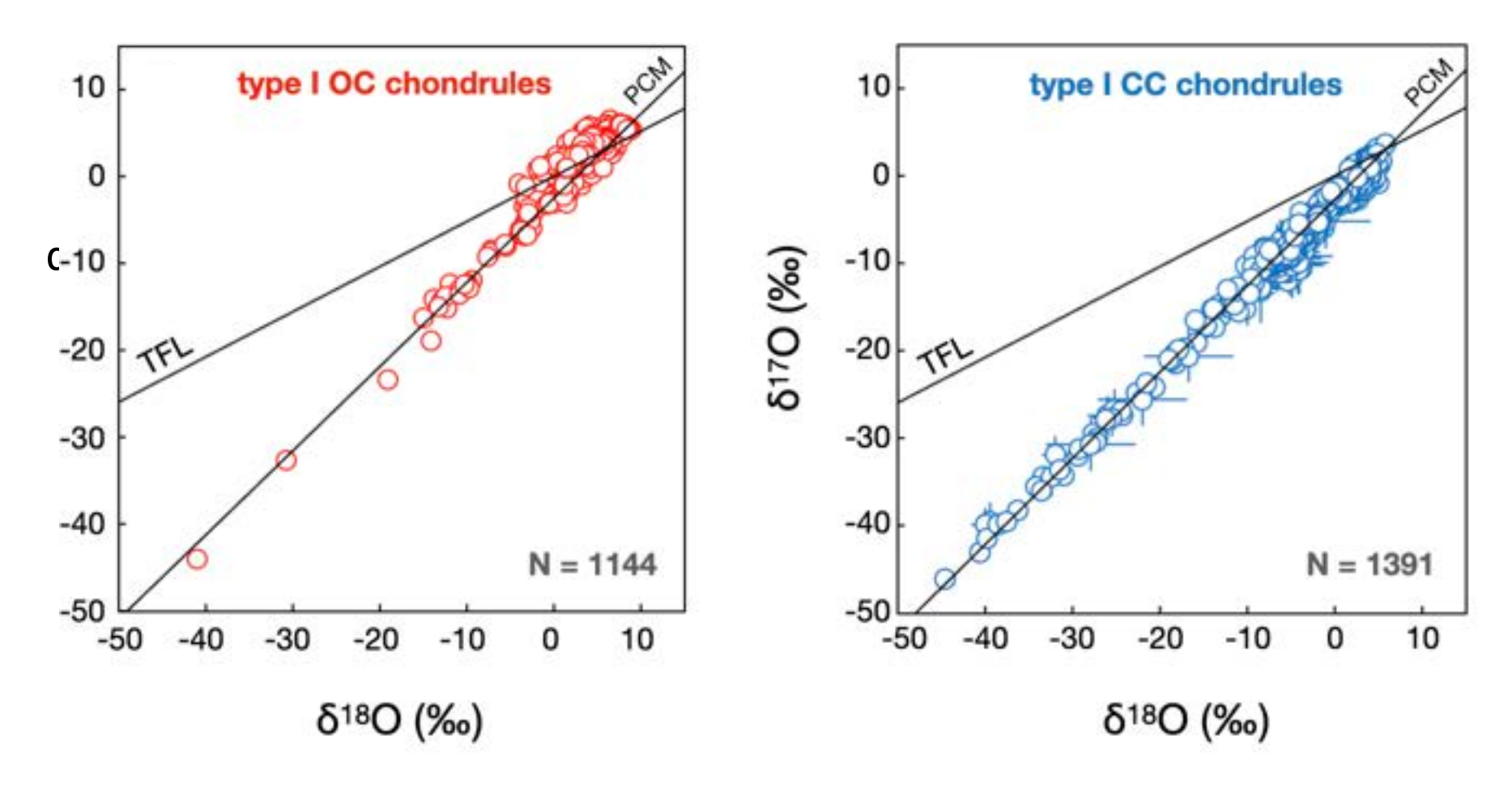
origine des petits chondres NC?



implications sur la dynamique des poussières



- → petits chondres d'une même chondrite NC et CC sont hétérogènes isotopiquement
 - → pas de stockage dans de gros planétésimaux formés tôt dans le disque (taille maximum < 5-10 km sinon fusion complète)</p>
 - → cela implique que la poussière a été stockée longtemps dans le disque interne et externe = GROS PROBLEME ASTROPHYSIQUE



- → olivine reliques sont plus abondantes dans les chondres CC que NC
 = production de poussière plus efficace dans le disque interne
- → processus de recyclage plus intenses dans le disque interne + pas de stockage dans des planétésimaux = GROS PROBLEME ASTROPHYSIQUE

évolution de la poussière → tout est question de recyclage



- → chondres NC et CC résultent d'épisodes répétitifs de fusion et de recyclage de la poussière nébulaire
- → le processus haute température permettant de former les chondres est toujours mystérieux
- → la poussière est constamment reprocessé lors de l'évolution du disque
- → recyclage local et partiel = certaines poussières ne sont pas affectées

évolution des chondrules



que nous ne comprenons pas, c'est le mécanisme de chauffage

éclairs ondes de chocs nappes de courant

doit être extrêmement localisé et répétitive tout au long de l'historique du disque interne et externe